

## บทที่ 2

### ทฤษฎีและแนวความคิด

#### 2.1 เคมีของนิกเกิล

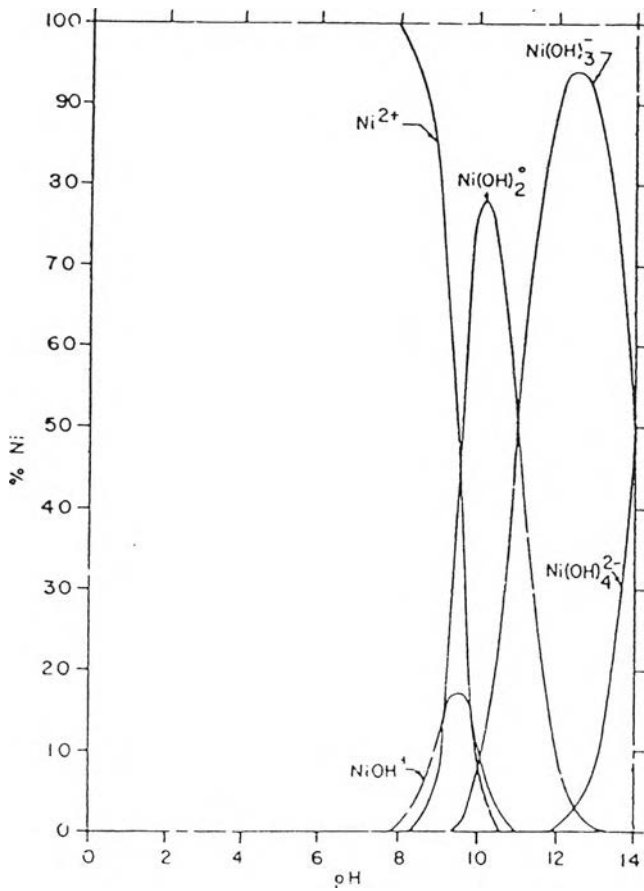
นิกเกิลเป็นโลหะที่อยู่ในหมู่ 8B ในตารางธาตุ มีเลขอะตอมเท่ากับ 28 มีน้ำหนักอะตอมเท่ากับ 58.71 และมีเลขออกซิเดชันหลายค่าคือ 0, I, II, III, และ IV (Brugger, 1970) นิกเกิลมีการจัดเรียงอิเล็กตรอนเป็น  $1s^2 2s^2 2p^6 3s^2 3p^6 3d^8 4s^2$  เนื่องจากรูปแบบของการจัดเรียงอิเล็กตรอนวงนอกแบบ  $3d^8$  เป็นรูปแบบที่มีความเสถียรมากที่สุด ดังนั้นนิกเกิลที่พบทั่วไปตามแหล่งน้ำธรรมชาติจะอยู่ในรูปของนิกเกิลที่มีประจุ +2 เป็นส่วนใหญ่ (Latimer, 1952 อ้างถึงใน Richter and Theis, 1980)

ไอออนนิกเกิลประจุ +2 เป็นออกเตฮีดรัล โดยเชื่อมต่อกับกับโมเลกุลของน้ำ 6 โมเลกุล  $[Ni(H_2O)_6]^{2+}$  ซึ่งเป็นลักษณะที่คล้ายกับไอออนของธาตุอื่น ๆ ในทรานซิชันที่ 1 ตามตารางธาตุ (V, Cr, Mn, Fe, Co) (Baes and Mesmer, 1976 อ้างถึงใน Richter and Theis, 1980) ในรูปที่ 2.1 แสดงการกระจายของสารประกอบนิกเกิลในรูปแบบต่าง ๆ ในลักษณะที่เป็นฟังก์ชันของพีเอช สำหรับสารละลายที่ไม่อิ่มตัว จะเห็นได้ว่าในแหล่งน้ำธรรมชาติ (พีเอชประมาณ 5 ถึง 9) นิกเกิลอยู่ในรูป  $Ni^{2+}$  เป็นส่วนใหญ่

นิกเกิลส่วนใหญ่จะถูกนำไปใช้ประโยชน์โดยนำไปผสมโลหะอื่นๆเป็นโลหะอัลลอยด์ ส่วนนิกเกิลบริสุทธิ์จะใช้ในอุตสาหกรรมเคมี ใช้ผสมน้ำมันเบนซิน ใช้ในงานชุบโลหะ และใช้ในอุตสาหกรรมเซรามิก

สำหรับความเป็นพิษของนิกเกิลจะเกิดเนื่องจากฝุ่นของนิกเกิลและนิกเกิลคาร์บอนิลซึ่งเป็นสารประกอบในการทำนิกเกิลบริสุทธิ์ เป็นสารที่ทำให้เกิดโรคมะเร็งในมนุษย์และสัตว์ การแพร่กระจายของนิกเกิลในน้ำจะทำให้เกิดอาการผื่นคันที่ผิวหนัง (พลนิจิตร, 2539)

กระทรวงอุตสาหกรรมได้กำหนดคุณลักษณะของน้ำทิ้งจากโรงงานอุตสาหกรรมให้มีค่าความเข้มข้นของนิกเกิลไม่มากกว่า 1.0 มก./ล. (ประกาศกระทรวงอุตสาหกรรมฉบับที่ 2, 2539) ดังแสดงในตารางที่ ก.1 ภาคผนวก ก



รูปที่ 2.1 การกระจายของสารประกอบนิกเกิล

(Baes and Mesmer, 1976 อ้างถึงใน Richter and Theis, 1980)

## 2.2 การดูดติดผิว

การดูดติดผิว (Adsorption) เป็นความสามารถของสารบางชนิดในการดึงโมเลกุลหรือ คอลลอยด์ ซึ่งอยู่ในของเหลวหรือก๊าซ ให้มาเกาะจับและติดบนผิวของมัน ปฏิกิริยาการนี้จัด เป็นการเคลื่อนย้ายสารจากของเหลวหรือก๊าซมายังผิวของของแข็ง โมเลกุลหรือคอลลอยด์เรียกว่า Adsorbate ส่วนของแข็งที่มีผิวเป็นที่เกาะจับของ Adsorbate เรียกว่า Adsorbent การดูด ติดผิวโดยทั่วไปมี 3 รูปแบบ ได้แก่ การดูดติดผิวทางกายภาพ ทางเคมี และการแลกเปลี่ยนประจุ

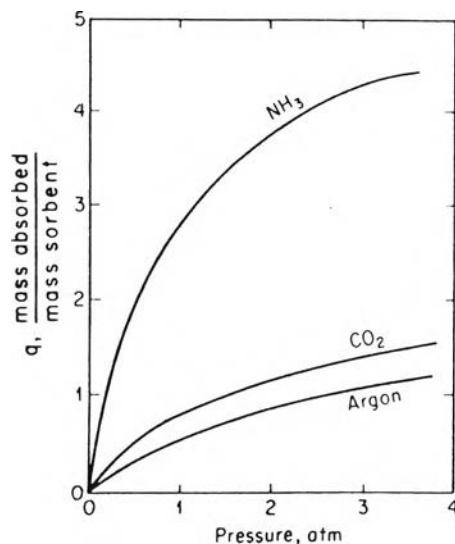
การดูดติดผิวทางกายภาพ (Physical Adsorption) เป็นความสัมพันธ์แบบไม่เฉพาะ เจาะจง ซึ่งเป็นแรงกระทำอย่างอ่อนระหว่างโมเลกุล หรือที่เรียกกันว่า แรงแวนเดอร์วาลส์ (Van Der Waals Force) ในที่นี้การดูดติดผิวของโมเลกุลจะไม่ยึดติดในจุดในจุดหนึ่งบนพื้นผิวแต่ จะสามารถเคลื่อนที่อย่างอิสระไปบนพื้นผิว ซึ่งโมเลกุลที่ถูกดูดติดผิวจะมีความเข้มข้นมากขึ้น และเกิดเป็นชั้นทับกันหลายชั้นที่ผิวของสารดูดติดผิว อย่างไรก็ตาม การดูดติดผิวทางกาย ภาพโดยทั่วไปสามารถเกิดการย้อนกลับได้ นั่นก็คือโมเลกุลที่ถูกดูดติดผิวสามารถหลุดกลับไป อยู่ในสถานะเดิมก่อนการดูดติดผิวได้โดยง่าย

การดูดติดผิวทางเคมี (Chemical Adsorption) เป็นผลมาจากแรงกระทำอย่างแข็งแรง กว่า การดูดติดผิวทางกายภาพ ซึ่งสามารถเปรียบได้กับแรงกระทำที่ทำให้เกิดสารประกอบทาง เคมี ปกติโมเลกุลที่ถูกดูดติดจะก่อชั้นบนผิวซึ่งหนาเพียงหนึ่งโมเลกุล และโมเลกุลไม่สามารถ เคลื่อนที่อย่างอิสระบนพื้นผิวได้ เมื่อพื้นผิวถูกปกคลุมด้วยชั้นโมเลกุลหนึ่งชั้นกำลังของสารดูด ติดผิวก็จะหมดลง การดูดติดผิวทางเคมีสามารถฟื้นอำนาจกลับได้น้อย โดยทั่วไปจะต้องให้ ความร้อนแก่สารดูดติดผิวให้มีอุณหภูมิเพิ่มขึ้นเพื่อที่จะใช้กำจัดโมเลกุลของสารปนเปื้อน

การดูดติดผิวแบบมีการแลกเปลี่ยน (Exchange Adsorption) มักจะใช้อธิบายรูปแบบ ลักษณะของแรงกระทำทางไฟฟ้าระหว่างสารปนเปื้อนกับพื้นผิว การแลกเปลี่ยนประจุ (Ion Exchange) ก็รวมอยู่ในกระบวนการนี้ด้วย ในที่นี้ไอออนของสารจะสะสมบนพื้นผิวโดยเป็นผล มาจากไฟฟ้าสถิตย์ โดยจะจับอยู่ในตำแหน่งของพื้นผิวที่มีประจุตรงกันข้าม โดยปกติไอออนที่มี ประจุมากกว่า เช่นมีประจุสาม จะถูกดูดอย่างแข็งแรงกว่าโมเลกุลที่มีประจน้อยกว่า เช่นไอออน ที่มีประจุหนึ่ง หรือโมเลกุลที่มีขนาดยิ่งเล็ก ก็ยังมีความสามารถในการดูดติดผิวที่แข็งแรงมาก ขึ้น อย่างไรก็ตามถึงแม้จะทราบว่า การดูดติดผิวมีรูปแบบที่สำคัญอยู่สามรูปแบบ แต่ก็เป็นการ

ยากที่จะชี้เฉพาะเจาะจงลงไปว่า การดูดติดผิวของสสารเป็นรูปแบบใดรูปแบบหนึ่งในสามรูปแบบนี้

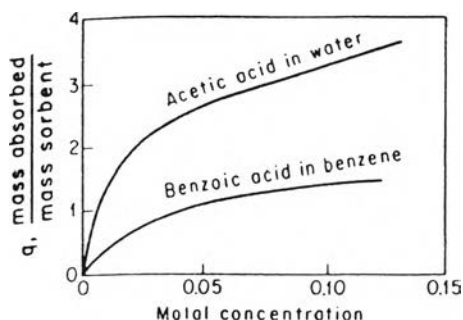
การดูดติดผิวเป็นปรากฏการณ์ที่เกิดขึ้นบนพื้นผิวซึ่งอัตราเร็วและปริมาณของการดูดติดผิวเป็นฟังก์ชันของพื้นที่ผิวของของแข็งที่ใช้เป็นสารดูดติดผิว มีการใช้แอคติเวตเต็ดคาร์บอนอย่างกว้างขวางเพื่อวัตถุประสงค์ในการดูดติดผิวอันเนื่องมาจากพื้นที่ผิวที่มีปริมาณมากเมื่อเทียบกับมวลของมัน โดยทั่วไปแอคติเวตเต็ดคาร์บอนสังเคราะห์มาจากผลิตภัณฑ์จากไม้ กระดุกสัตว์ หรือถ่านหิน โดยการให้ความร้อนไล่ความชื้นออกจากวัตถุดิบเสียก่อน จากนั้นจึงเผาวัตถุดิบที่แห้งให้เป็นถ่านที่อุณหภูมิประมาณ 400-600 องศาเซลเซียส จากนั้นเผาต่อไปที่อุณหภูมิประมาณ 750-950 องศาเซลเซียสภายใต้ความชื้นที่เหมาะสมเพื่อไล่ทาร์ (Tar) ออกให้หมด สารภายในของเซลล์ไม้จะถูกไล่ออกไปจากกระบวนการนี้เหลือไว้แต่โครงสร้างที่เป็นรูพรุนเล็กๆ และกระจายอย่างสม่ำเสมอ พื้นที่ผิวของแอคติเวตเต็ดคาร์บอนอยู่ในช่วง 1,000 ตารางเมตรต่อกรัม และมีขนาดรูพรุนอยู่ในระหว่าง 20-20,000 Å ที่อุณหภูมิและความดันหนึ่งแอคติเวตเต็ดคาร์บอนจะสามารถดูดก๊าซได้ในปริมาณที่แน่นอน เมื่อความดันเพิ่มขึ้นความสามารถในการดูดติดผิวจะเพิ่มขึ้น หากความดันลดลงความสามารถในการดูดติดผิวก็จะน้อยลง ดังแสดงในรูปที่ 2.2



รูปที่ 2.2 การดูดติดผิวของก๊าซบนถ่าน (Charcoal) ที่อุณหภูมิคงที่

(Sawyer Mccarty and Parkin, 1994)

การดูดติดผิวของโมเลกุลจากสารละลายเป็นไปเช่นเดียวกับก๊าซ รูปที่ 2.3 แสดงข้อมูลการดูดติดผิวของกรดอะซิติกและเบนโซอิก เส้นกราฟเป็นไปในลักษณะเดียวกับในรูปที่ 2.2 จากข้อมูลนี้สามารถสรุปได้ว่าปริมาณของโมเลกุลต่อสารดูดติดผิวขึ้นอยู่กับธรรมชาติของวัสดุและความเข้มข้นของสาร



รูปที่ 2.3 การดูดติดผิวของสารละลายบนถ่าน (Charcoal) ที่อุณหภูมิและความดันคงที่ (Sawyer Mccarty and Parkin, 1994)

Freundlich ศึกษาปรากฏการณ์การดูดติดผิวและได้แสดงว่าการดูดติดผิวจากสารละลายสามารถอธิบายได้ด้วยสมการ

$$q = KC^{1/n} \quad (1)$$

เมื่อ C = ความเข้มข้นของโมเลกุลสารปนเปื้อนภายหลังการดูดติดผิว

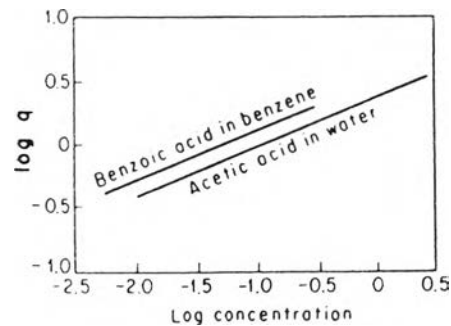
q = มวลของสารปนเปื้อนที่ถูกดูดติดผิวต่อหน่วยน้ำหนักของสารที่ใช้ดูดติดผิว

K และ n = ค่าคงที่ของสารแต่ละชนิดและอุณหภูมิ

หรือสามารถเขียนได้เป็น

$$\log q = \log K + (1/n) \log C \quad (2)$$

เมื่อเขียนกราฟตามสมการ (2) ได้ดังรูปที่ 2.4 ซึ่งเป็นวิธีที่สะดวกและนิยมใช้ในการหาการกำจัดโมเลกุลในสารละลาย รวมทั้งค่าคงที่ K และ n



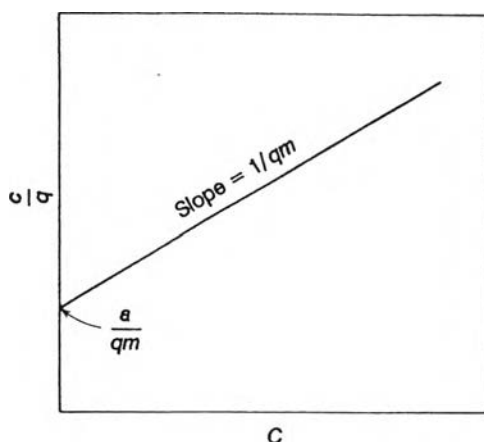
รูปที่ 2.4 การเขียนกราฟแบบล็อกการิทึมของการดูดติดผิว  
ของสารละลาย บนถ่าน (Charcoal)  
ที่อุณหภูมิและความดันคงที่  
(Sawyer Mccarty and Parkin, 1994)

สมการอื่นๆ ซึ่งมักใช้ในการอธิบายการดูดติดผิวและหามาจากการพิจารณาตามหลัก  
การพื้นฐาน ได้แก่สมการ Langmuir isotherm และ BET isotherm โดย Langmuir isotherm  
ใช้อธิบายการดูดติดผิวที่เป็นชั้นเดียว (Single-Layer Adsorption) ดังนี้

$$\frac{C}{q} = \frac{a}{q_m} + \frac{C}{q_m} \quad (3)$$

เมื่อ  $C$  มีค่ามากเมื่อเทียบกับค่าคงที่  $a$  ค่า  $q_m$  จะแสดงค่าการดูดติดผิวสูงสุด (กรัมของ  
สารปนเปื้อนต่อกรัมของสารดูดติดผิว)

เมื่อ  $q$  มีค่าใกล้เคียงกับ  $q_m$  โมเลกุลจะถูกดูดติดผิวครอบคลุมพื้นผิวค่อนข้างสมบูรณ์  
ถ้าเขียนกราฟของ  $C/q$  และ  $C$  จะได้กราฟเป็นเส้นตรง และจะสามารถหาค่า  $a$  และ  $q_m$  ได้ดังรูป  
ที่ 2.5



รูปที่ 2.5 กราฟเส้นตรงที่แสดงรูปแบบของ Langmuir isotherm  
(Sawyer Mccarty and Parkin, 1994)

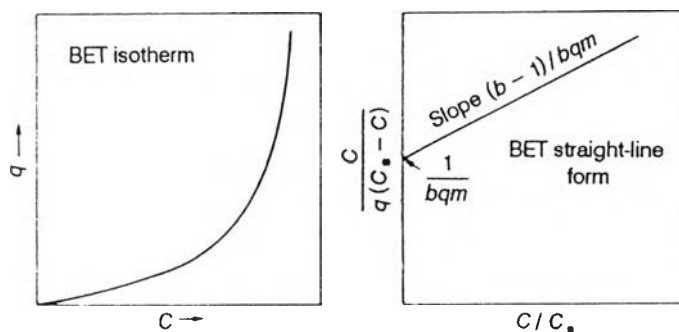
ส่วน BET isotherm เป็นสมการการดูดติดผิวที่มีการประยุกต์ใช้กันมากกว่าสมการ Langmuir isotherm และใช้กับการดูดติดผิวแบบหลายชั้น แบบจำลองนี้ตั้งสมมติฐานโดยให้ชั้นของสารปนเปื้อนสะสมที่พื้นผิวของสารดูดติดผิว และใช้สมการ Langmuir isotherm กับแต่ละชั้น จัดรูปใหม่ได้ดังนี้

$$\frac{q}{q_m} = \frac{bC}{(C_s - C)[1 + (b-1)C/C_s]} \quad (4)$$

ค่า  $C_s$  แสดงค่าความเข้มข้นอิ่มตัวของสารปนเปื้อนในสารละลาย เมื่อ  $C$  มีค่ามากกว่า  $C_s$  มากสารปนเปื้อนจะตกผลึกหรือชั้นขึ้นเป็นของแข็งหรือของเหลวและมีความเข้มข้นมากบนพื้นผิว และสามารถเขียนสมการ BET ได้เป็น

$$\frac{C}{q(C_s - C)} = \frac{1}{bq_m} + \frac{(b-1)}{bq_m} (C/C_s) \quad (5)$$

ค่า  $C_s$  และ  $b$  สามารถหาได้จากค่าความชันและจุดตัดของเส้นตรง จากกราฟซึ่งเขียนโดยใช้พจน์ซ้ายมือของสมการ (5) และ  $C/C_s$  กราฟของ BET isotherm และกราฟเส้นตรงแสดงในรูปที่ 2.6



รูปที่ 2.6 กราฟที่แสดงรูปแบบของ BET isotherm  
(Sawyer Mccarty and Parkin, 1994)

adsorption isotherm เป็นสมการสมดุลและใช้กับสภาวะที่เป็นผลหลังจากโมเลกุลของสารปนเปื้อนมีการสัมผัสกับสารดูดติดผิวในเวลาเพียงพอให้เกิดสมดุลแล้ว อัตราซึ่งสารถูกดูดติดที่ผิวของแข็งเป็นสิ่งสำคัญในการพิจารณาในกระบวนการทดสอบการกำจัดสารปนเปื้อนจากก๊าซหรือของเหลว ขั้นตอนที่เกิดขึ้นในระหว่างการดูดติดผิวสามารถแยกได้เป็นสามลำดับได้แก่ ขั้นตอนที่ไม่เลกุลของสารปนเปื้อนเคลื่อนที่จากของเหลวหรือก๊าซผ่านชั้น boundary layer ในของเหลวไปยังชั้นนอกของสารดูดติดผิว จากนั้นโมเลกุลจะแทรกตัวเข้าไปยังช่องว่างของสารดูดติดผิวด้วยการ diffusion ลำดับสุดท้ายโมเลกุลจะเกาะติดอยู่ที่พื้นผิวของสารดูดติดผิว

ถ้าน้ำหรือสารละลายอยู่ในสภาวะนิ่งแล้วการที่โมเลกุลจะแทรกตัวผ่านชั้น boundary layer ได้จะช้ามาก หากมีความปั่นป่วนความหนาของชั้น boundary layer จะลดลง และอัตราการดูดติดผิวจะเพิ่มขึ้น เมื่อเพิ่มความปั่นป่วนอัตราการดูดติดผิวจะคงอยู่ที่ค่าหนึ่งซึ่งเมื่อเพิ่มความปั่นป่วนอีกก็ไม่สามารถเพิ่มอัตราการดูดติดผิวได้ ดังนั้นการเพิ่มความปั่นป่วนของของเหลวที่มีสารดูดติดผิวอยู่จะสามารถเพิ่มอัตราการดูดติดผิวได้หรือไม่จะขึ้นอยู่กับลักษณะสมบัติของสารปนเปื้อนและอัตราการแทรกตัวสัมพัทธ์ (relative rates of diffusion) ผ่านชั้น boundary layer ผ่านเข้าไปในช่องว่าง

สำหรับการดูดติดผิวของสารปนเปื้อนในน้ำด้วยแอคติเวตเต็ดคาร์บอนนั้น อัตราและปริมาณของการดูดติดผิวขึ้นอยู่กับลักษณะสมบัติของโมเลกุลสารปนเปื้อนและคาร์บอน การดูดติดผิวยังเป็นผลมาจากความสามารถในการละลายน้ำได้ของสารปนเปื้อน โดยสารที่ไม่ละลาย



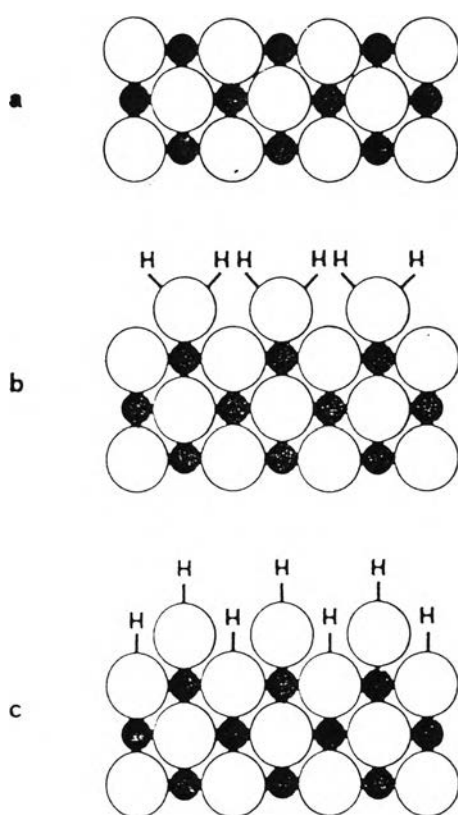
น้ำหรือละลายน้ำได้น้อยมักสามารถเกาะติดผิวได้ดีเนื่องจากมีแรงยึดเหนี่ยวกับน้ำน้อยกว่าสารที่ละลายน้ำได้ดี นอกจากนี้ขนาดของโมเลกุลและอัตราการกระจายตัว diffusion ผ่านชั้น boundary layer ก็เป็นปัจจัยที่ต้องพิจารณา สำหรับการดูดติดผิวแบบและเปลี่ยน (Exchange Adsorption) พบว่าอิออนถูกดูดติดผิวได้น้อยกว่าโมเลกุลที่เป็นกลาง สารอินทรีย์หลายชนิดจะมีประจุลบที่พีเอชสูง มีประจุบวกที่พีเอชต่ำ และเป็นกลางที่พีเอชช่วงกลางๆ โดยทั่วไปการดูดติดผิวจะเพิ่มขึ้นที่ช่วงพีเอชที่มีประจุเป็นกลาง พีเอชยังมีผลต่อสารดูดติดผิวโดยมีผลกระทบต่อประจุบนพื้นผิวรวมทั้งไปเปลี่ยนความสามารถในการดูดติดผิวสารปนเปื้อน ในตัวอย่างน้ำหรือน้ำเสียจะมีสมบัติการดูดติดผิวต่างกันเนื่องจากมีสารหลายชนิดเป็นองค์ประกอบ ซึ่งจะไปแย่งกันติดที่ผิวของสารดูดติดผิว ด้วยเหตุนี้สารที่ใช้ดูดติดผิวจะกำจัดโมเลกุลได้น้อยกว่ากรณีที่มีสารเพียงชนิดเดียวในสารละลาย

การใช้กระบวนการดูดติดผิวในงานวิศวกรรมสิ่งแวดล้อมที่สำคัญมากที่สุดประการหนึ่ง ก็เพื่อที่จะกำจัดสารอินทรีย์จากน้ำหรือน้ำเสีย เช่น การกำจัดกลิ่นและสีที่เกิดจากสารอินทรีย์โลหะหนักต่างๆ รวมทั้งสารอินทรีย์ปนเปื้อนบางชนิด เช่น ไตรฮาโลมีเทน ยาฆ่าแมลง และสารประกอบอินทรีย์คลอรีนจากน้ำดื่ม การกำจัดสารอินทรีย์ปนเปื้อนที่เหลือในน้ำทิ้งจากระบบบำบัดน้ำทิ้งชุมชน น้ำทิ้งขยะ น้ำเสียอุตสาหกรรม และของเสียอันตราย โดยการเติมแอกติเวตเต็ดคาร์บอนชนิดเกร็ดหรือชนิดผงลงไปผสมกับน้ำเสียและแยกออกโดยการตกตะกอนหรือการกรอง หากต้องการกำจัดสารอินทรีย์ในปริมาณมาก และต้องการใช้คาร์บอนให้มีประสิทธิภาพสูงสุด เพื่อให้ได้น้ำที่มีคุณภาพสูงก็สามารถทำได้โดยให้น้ำไหลผ่านชั้นกรองคาร์บอนที่มีความสูงมาก

## 2.3 ทฤษฎีออกไซด์ของโลหะไฮดรรัส

### 2.3.1 บทนำ

ออกไซด์ของธาตุหลายชนิด เช่น ซิลิคอน อะลูมิเนียม และ เหล็ก เป็นสิ่งที่มีอยู่มากมาย และพบได้ทั่วไปตามเปลือกโลก ออกไซด์ของธาตุเหล่านี้ถ้าถูกล้อมรอบด้วยน้ำ โดยทั่วไปจะเกิด หมู่ไฮดรอกซิลปกคลุมพื้นผิว (ดังรูป 2.7)



รูปที่ 2.7 รูปตัดพื้นผิวออกไซด์โลหะ : อีออนโลหะ ● ; อีออนออกไซด์ ○

( Anderson and Rubin ,1981 )

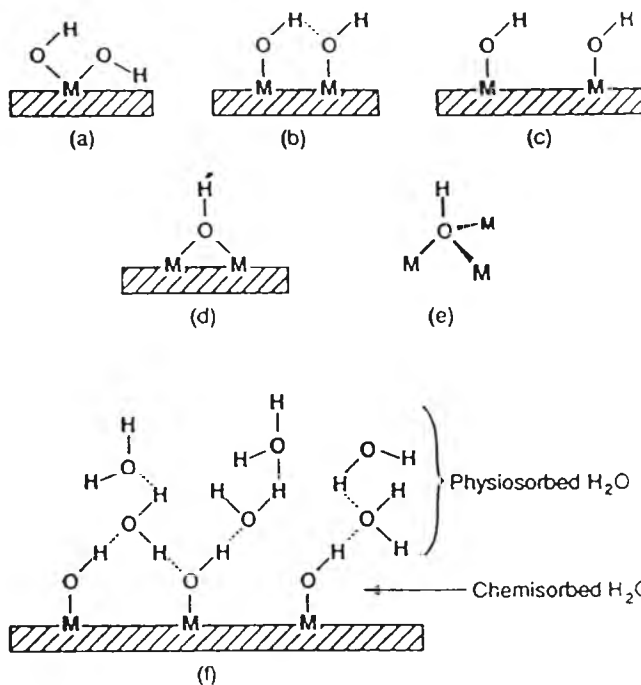
- อีออนที่ผิวอยู่ในลักษณะที่ไม่สมดุล
- ในสถานะที่มีน้ำอีออนที่ผิวจะจับคู่กับโมเลกุลของน้ำ
- การดูดติดผิวทางเคมีก่อให้เกิดหมู่ไฮดรอกซิลปกคลุมพื้นผิว

### 2.3.2 รูปแบบของหมู่ไฮดรอกซิลที่ผิวสัมผัสของออกไซด์และน้ำ

จากการเกิดความไม่สมดุลของแรงทางเคมีที่ผิวสัมผัส จึงทำให้เกิดการดูดติดผิวทางเคมี (chemisorbing) กับโมเลกุลของน้ำและเกิดเป็นหมู่ไฮดรอกซิลที่พื้นผิว นอกจากนี้ยังเกิด Hydrogen bond ระหว่างหมู่ไฮดรอกซิลกับโมเลกุลของน้ำเกิดเป็นชั้นของการดูดติดผิวทางกายภาพ (Physically absorbed water) รูปแบบที่หลากหลายของหมู่ไฮดรอกซิลที่พื้นผิวแสดงในรูปที่ 2.8 ความแตกต่างของรูปแบบที่หลากหลายของหมู่ไฮดรอกซิลเป็นผลทำให้เกิดปฏิกิริยาเคมีที่แตกต่างกันด้วย (James and Parks ,1982 อ้างถึงใน Jame and Douglas , 1990) จากการตรวจสอบ Geothite ( $\alpha$ -FeOOH) พบว่ามีรูปแบบที่แตกต่างกันอยู่ 4 แบบ ดังแสดงในรูปที่ 2.9 ซึ่งประกอบด้วยแบบ A ,B , C และแบบที่ 4 ซึ่งเรียกว่า Lewis-acid site (Sposito ,1984 อ้างถึงใน Jame and Douglas , 1990) กล่าวว่ามีเฉพาะแบบ A เท่านั้นที่จะเกิดคอมเพล็กซ์กับ  $H^+$  ขณะที่ทั้งแบบ A และแบบ Lewis-acid site สามารถปล่อย  $H^+$  ส่วนแบบ B และ C ถูกมองว่าเฉื่อยต่อการทำปฏิกิริยา ดังนั้นแบบ A จึงเป็นได้ทั้งตัวรับโปรตอนและ ตัวให้โปรตอน (หรือที่เรียกว่า amphhoteric) ส่วนโมเลกุลของน้ำที่ทำปฏิกิริยากับแบบ Lewis-acid site จะเป็นได้เพียงตัวให้โปรตอน

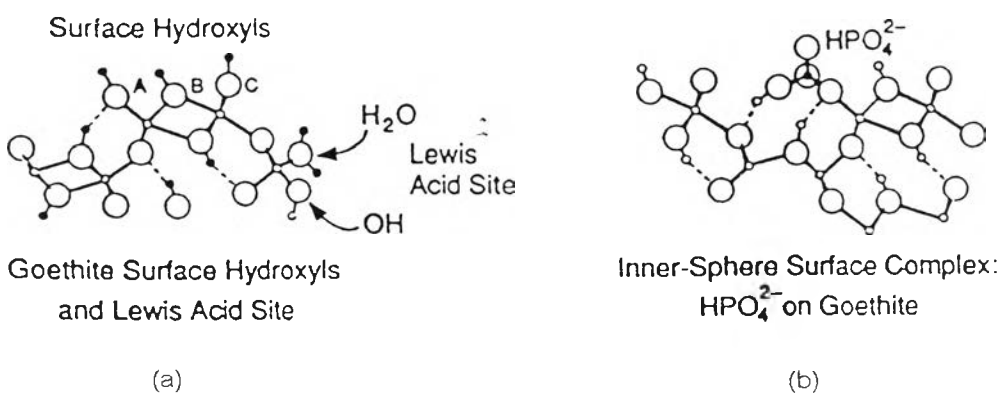
### 2.3.3 ความเข้มข้นของหมู่ไฮดรอกซิลที่พื้นผิวออกไซด์

การหาความเข้มข้นของหมู่ไฮดรอกซิลที่พื้นผิวสามารถทำได้หลายวิธี เช่น ประมาณจากน้ำหนักที่หายไปเมื่อให้ความร้อน จากวิธี BET treatment ของการดูดซับไอน้ำ จากวิธี  $D_2O$  exchange และจากการทำปฏิกิริยากับรีเอเจนต์ต่างๆ เช่น  $HClO_4$ ,  $H_3PO_4$ ,  $NaOH$  และ  $CH_3MgI$  ค่าความเข้มข้นของหมู่ไฮดรอกซิลแสดงตามตารางที่ 2.1 จะเห็นได้ว่าพื้นผิวออกไซด์ส่วนใหญ่จะมีหมู่ไฮดรอกซิลอยู่ระหว่าง 4-10 ต่อ  $100 (A^\circ)^2$  จำนวนที่แน่นอนขึ้นอยู่กับลักษณะของสร้างผลึกและธรรมชาติของรอยแยกบนพื้นผิว นอกจากนี้จำนวนหมู่ไฮดรอกซิลของออกไซด์ชนิดต่างๆยังมีความแตกต่างกันตามอัตราการเกิด hydroxy (hydroxylation) และ อัตราการลด hydroxy (dehydroxylation) อีกด้วย เป็นที่ทราบกันว่า hydroxylation ของ  $SiO_2$  เป็นกระบวนการที่ช้า ในขณะที่หมู่ไฮดรอกซิลของ  $\alpha$ - $Fe_2O_3$ ,  $R-Al_2O_3$  และ  $ThO_2$  เกิดได้อย่างรวดเร็ว (Anderson and Rubin ,1981)



รูปที่ 2.8 รูปแบบที่แตกต่างกันของหมู่ไฮดรอกซิลที่ผิวไฮดรอกไซด์  
(Jame and Douglas . 1990)

- a. Geminal hydroxyl group
- b. Vicinal group , H-bonded
- c. Doubly coordinate hydroxyl
- d. Triply coordinate hydroxyl
- e. Isolated hydroxyl
- f. ความสัมพันธ์ระหว่างหมู่ไฮดรอกซิลที่พื้นผิวซึ่งประกอบด้วย chemisorbed H<sub>2</sub>O และ physiosorbed H<sub>2</sub>O



รูปที่ 2.9 a. แบบของหมู่ไฮดรอกซิลที่พื้นผิว Goethite( $\alpha$ -FeOOH) ประกอบด้วยแบบ A , B , C และ แบบ Lewis-acid site (ในที่นี้ไม่ได้แสดง Fe-O bond บางชุดของแบบ A และ B)  
b. การดูดติดผิวของฟอสเฟตกับแบบ A ที่พื้นผิว Goethite  
( Sposito , 1984 อ้างถึงใน Jame and Douglas . 1990)

ตารางที่ 2.1 ความเข้มข้นของหมู่ไฮดรอกซิลที่พื้นผิวออกไซด์  
(ที่มา Anderson and Rubin ,1981)

ออกไซด์	จำนวน OH/100 A <sup>o2</sup>	วิธีวัด
SiO <sub>2</sub> amorphous	4.8	D <sub>2</sub> O
	5.1	NaOH
TiO <sub>2</sub> anatase	4.5	NaOH
	4.9	D <sub>2</sub> O
	2.8	H <sub>3</sub> PO <sub>4</sub>
CeO <sub>2</sub>	4.3	CH <sub>2</sub> N <sub>2</sub>
SnO <sub>2</sub>	2.0	CH <sub>2</sub> N <sub>2</sub>
η- Al <sub>2</sub> O <sub>3</sub>	4.8	CH <sub>3</sub> Mgl
γ- Al <sub>2</sub> O <sub>3</sub>	10.0	Weight loss
α- Fe <sub>2</sub> O <sub>3</sub>	5.5	BET
	9.1	CH <sub>2</sub> N <sub>2</sub>
ZnO	6.8-7.5	BET

### 2.3.4 คุณสมบัติของไฮดรอกไซด์เฟริกออกไซด์

#### 2.3.4.1 โครงสร้างและส่วนประกอบ

ไฮดรอกไซด์เฟริกออกไซด์ หรือที่เรียกว่า Amorphous Ferric Hydroxide และ Amorphous Iron Oxyhydroxide ภายใต้การไฮโดรไลซิสสารละลาย Fe(II) ที่อุณหภูมิ 20-30 C° จะเกิดการตกตะกอนเป็นของแข็งอย่างรวดเร็ว ไฮดรอกไซด์เฟริกออกไซด์ที่ตกตะกอนใหม่ไม่มีรูปร่างค่อนข้างกลม และเล็ก ขนาดเส้นผ่าศูนย์กลางอยู่ในช่วง 1 ถึง 10 นาโนเมตร และเมื่อเวลาผ่านไปจะเกิดการรวมตะกอนให้มีขนาดใหญ่ขึ้น แต่เนื่องด้วยตะกอนที่เกิดมีรูพรุนสูงมาก จึงมีน้ำรวมอยู่ในโครงสร้างจำนวนมาก จึงมีลักษณะเหมือนเจลมากกว่าของแข็ง (Dzombak and Morel, 1990)

ของแข็งไฮดรอกไซด์เฟริกออกไซด์มีรูปร่างไม่แน่นอน โดยทั่วไปจะเขียนสูตรทางเคมีเป็น  $\text{Fe}_2\text{O}_3 \cdot n\text{H}_2\text{O}$  (Brown et al., 1978 อ้างถึงใน Dzombak and Morel, 1990) กล่าวไว้ว่าส่วนประกอบของแข็งไฮดรอกไซด์เฟริกออกไซด์จะแปรค่าอยู่ระหว่าง  $\text{Fe}_2\text{O}_3 \cdot 3\text{H}_2\text{O}$  ถึง  $\text{Fe}_2\text{O}_3 \cdot 1\text{H}_2\text{O}$  จากการวัดค่าความหนาแน่นของไฮดรอกไซด์เฟริกออกไซด์จะมีค่าอยู่ระหว่าง 2.2 ถึง 4.0  $\text{g}/\text{cm}^3$  และมีค่าเฉลี่ยประมาณ 3.5  $\text{g}/\text{cm}^3$  (Schwertmann and Taylor, 1978 อ้างถึงใน Dzombak and Morel, 1990)

ในกระบวนการ aging สารละลาย Fe(II) ที่อุณหภูมิ 20-30  $^{\circ}\text{C}$  ไฮดรอกไซด์เฟริกออกไซด์จะเปลี่ยนรูปเป็นผลึกของเหล็กออกไซด์ โดยทั่วไปจะอยู่ในรูปของ Geothite ( $\alpha\text{-FeOOH}$ ) อัตราการเกิดผลึกเหล็กออกไซด์จะเกิดเร็วขึ้นในสารละลายที่มี Fe(III) สูง และ pH สูง (Avotins, 1975 อ้างถึงใน Dzombak and Morel, 1990)

#### 2.3.4.2 พื้นที่ผิวของไฮดรอกไซด์เฟริกออกไซด์

การวัดขนาดของพื้นที่ผิวของไฮดรอกไซด์เฟริกออกไซด์สามารถทำได้หลายวิธีดังแสดงในตาราง 2.2 วิธีการวิเคราะห์ของ BET โดยใช้การดูดติดผิวโดยก๊าซไนโตรเจนเป็นวิธีที่ได้รับความนิยมมากที่สุด แต่เนื่องจากวิธีนี้ไม่ค่อยเหมาะสมที่จะใช้กับวัสดุที่มีรูพรุนดังเช่นไฮดรอกไซด์เฟริกออกไซด์ ทำให้ผลที่ได้มีค่าค่อนข้างต่ำ (Dzombak and Morel, 1990) การวัดโดยวิธี Negative adsorption บนโลหะที่มีรูพรุนก็ให้ผลที่มีค่าต่ำ ซึ่งอาจเกิดจากการถูกจำกัดการเคลื่อนที่ของ co-ions (Van Den Hul and Lyklema, 1968 อ้างถึงใน Dzombak and Morel, 1990) นอกจากนี้การวัดขนาดของพื้นที่ผิวโดยวิธีอื่นๆก็ให้ค่าที่ต่ำกว่าที่แท้จริง ขนาดพื้นที่ผิวในทางทฤษฎีที่ได้จากการคำนวณมีค่าเท่ากับ 840  $\text{m}^2/\text{g}$  ของไฮดรอกไซด์เฟริกออกไซด์ อย่างไรก็ตามค่าที่แนะนำให้นำไปใช้งานคือ 600  $\text{m}^2/\text{g}$  (Davis, 1977 อ้างถึงใน Dzombak and Morel, 1990)

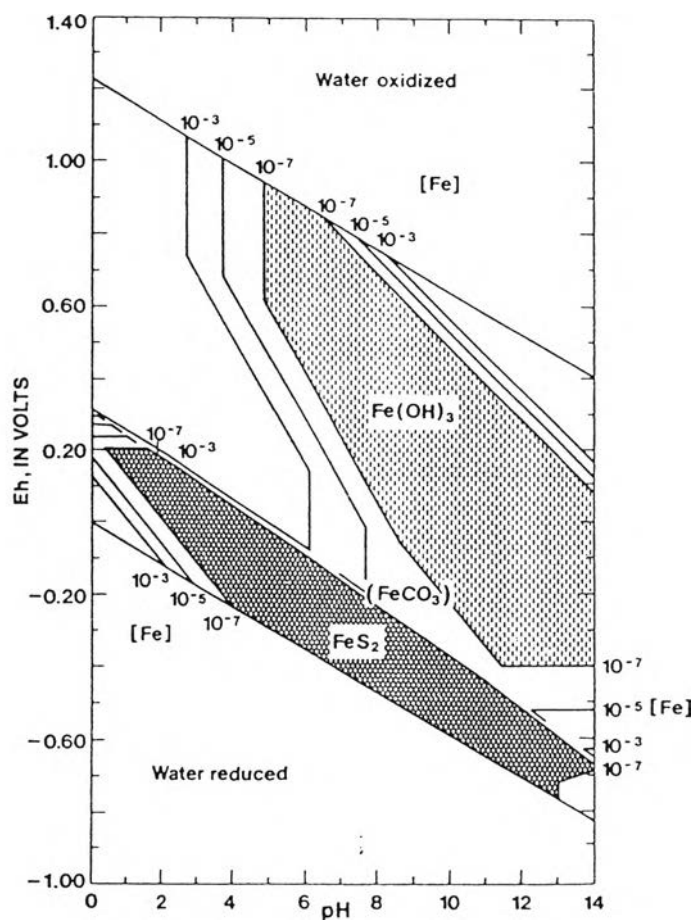
ตารางที่ 2.2 ขนาดพื้นที่ผิวจำเพาะของไฮดรัลเฟริกออกไซด์  
(ที่มา Dzombak and Morel, 1990)

ขนาดพื้นที่ผิว ( $m^2/g$ )	วิธีการวัด	ที่มา
159	BET, $N_{2(g)}$	Avotins (1975)
700	Negative adsorption of $Mg^{2+}$ at	Avotins (1975)
159	pH 5	Crosby et al. (1983)
234	BET, $N_{2(g)}$	Crosby et al. (1983)
$300 \pm 50$	BET, $N_{2(g)}$	Davies-Colley (1981)
182	BET, $H_2O$	Davis (1977)
270-335	BET, $N_{2(g)}$	Davis (1977)
320	Negative adsorption of $Na^+$	Gast et al. (1974)
250	BET, $N_{2(g)}$	Pyman and Posner (1978)
250	BET, $N_{2(g)}$	Pyman and Posner (1978)
	$H_2O$ adsorption at 19 % relative	
590	humidity	Pyman and Posner (1978)
280	Ethylene glycol adsorption	Ryden et al. (1977a)
303	BET, $N_{2(g)}$	Shuman (1977)
250	Glycol retention	Tipping (1981)
265	Electron microscopy	Van der Geissen (1966)
257	BET, $N_{2(g)}$	Yates (1975)
215	BET, $N_{2(g)}$	Yates (1975)
306	BET, $N_{2(g)}$	His and Langmuir (1985)
	BET, $N_{2(g)}$	

### 2.3.5 ความสามารถในการละลายของเหล็ก

โดยทั่วไปเหล็กที่อยู่ในสถานะของแข็งจะแบ่งออกเป็น 3 เฟส ซึ่งจะอยู่ในรูปของ  $\text{FeS}$ ,  $\text{FeS}_2$  และ  $\text{Fe(OH)}_3$  ตามลำดับ โดยปกติในแหล่งน้ำธรรมชาติจะประกอบด้วย ซัลเฟต ประมาณ 96 มิลลิกรัมต่อลิตร ไบคาร์บอเนตประมาณ 61 มิลลิกรัมต่อลิตร และเหล็ก ละลายน้ำประมาณ 5.6 ไมโครกรัมต่อลิตร (Forstner and Wittman, 1981) ส่วนกรณีที่มีค่า ความเข้มข้นของไบคาร์บอเนตสูงกว่าค่าที่กล่าวอาจทำให้เกิดเหล็กในสถานะของเหล็กอยู่ใน เฟสที่ 4 คือ  $\text{FeCO}_3$  ในรูปที่ 2.10 แสดงทั้งค่าการละลายของเหล็กเป็นโมลต่อลิตรกับขอบเขต ความคงตัวของเหล็กในสถานะของแข็ง(พื้นที่แลเงา) และจะแสดงสถานะของแข็งภายใน ขอบเขตของเส้นแสดงการละลายที่  $10^{-7}$  โมลต่อลิตร สำหรับ  $\text{Fe(OH)}_3$  นั้น จะอยู่ภายใต้สภาวะ ออกซิไดส์ซิง (เหล็กประจุ+3) และ  $\text{FeS}_2$  จะอยู่ภายใต้สภาวะรีดิวซิง (เหล็กประจุ+2) จากรูป แสดงให้เห็นว่าความสามารถในการละลายของเหล็กนั้นมีค่าต่ำมากระหว่างค่า Eh-pH ที่ต่าง กัน 2 ค่า ค่าแรกจะอยู่ภายใต้สภาวะรีดิวซิง อย่างแรงครอบคลุมช่วง pH กว้างมาก และ แสดงความคงตัวในรูปของ pyrite ( $\text{FeS}_2$ ) ค่าที่สองเป็นสภาวะออกซิไดส์ปานกลางที่ pH มากกว่า 5 และแสดงความคงตัวในรูปของ  $\text{Fe(OH)}_{3(s)}$  ระยะระหว่างขอบเขตทั้งสองนี้เหล็ก สามารถละลายได้ที่ pH ต่ำๆ นอกจากนี้จากรูปยังแสดงให้เห็นอีกว่า ถ้าหากค่า Eh หรือ pH เพิ่มขึ้นเพียงเล็กน้อยก็จะมีผลต่อความสามารถในการละลายของเหล็กมาก ในกรณีนี้ถ้า  $[(\text{Fe}^{+3})(\text{OH}^-)_3]_{\text{soln}}$  (ionic product) มีค่ามากกว่าค่าการละลายของผลิตภัณฑ์ (solubility product) ที่เกิดขึ้นมาแล้ว เหล็กก็จะตกผลึกเป็น  $\text{Fe(OH)}_3$





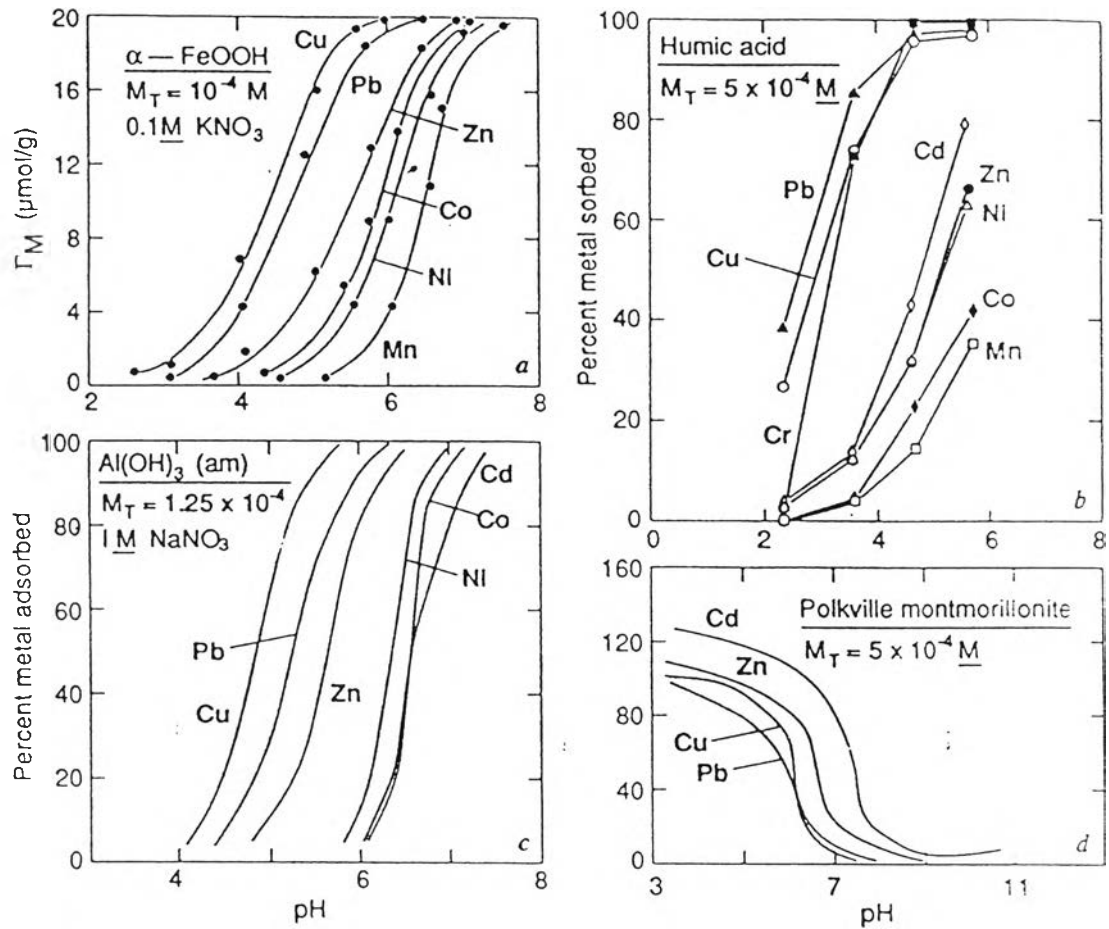
รูปที่ 2.10 pH and Eh fields of stability of iron  
(Forstner and Wittman, 1981)

### 2.3.6 การดูดติดผิวของไอออนที่ผิวสัมผัสของโลหะไฮดรอกไซด์ ในน้ำ

ออกไซด์ของธาตุหลายชนิด เช่น ซิลิคอน อะลูมิเนียม และ เหล็ก มีคุณลักษณะที่สำคัญในการดูดติดผิวไอออนต่างๆที่อยู่ในสารละลาย ซึ่งสามารถพบได้ทั่วไปในดิน ในน้ำ ในชั้นตะกอน และรูปแบบอื่นในทางธรณีวิทยา

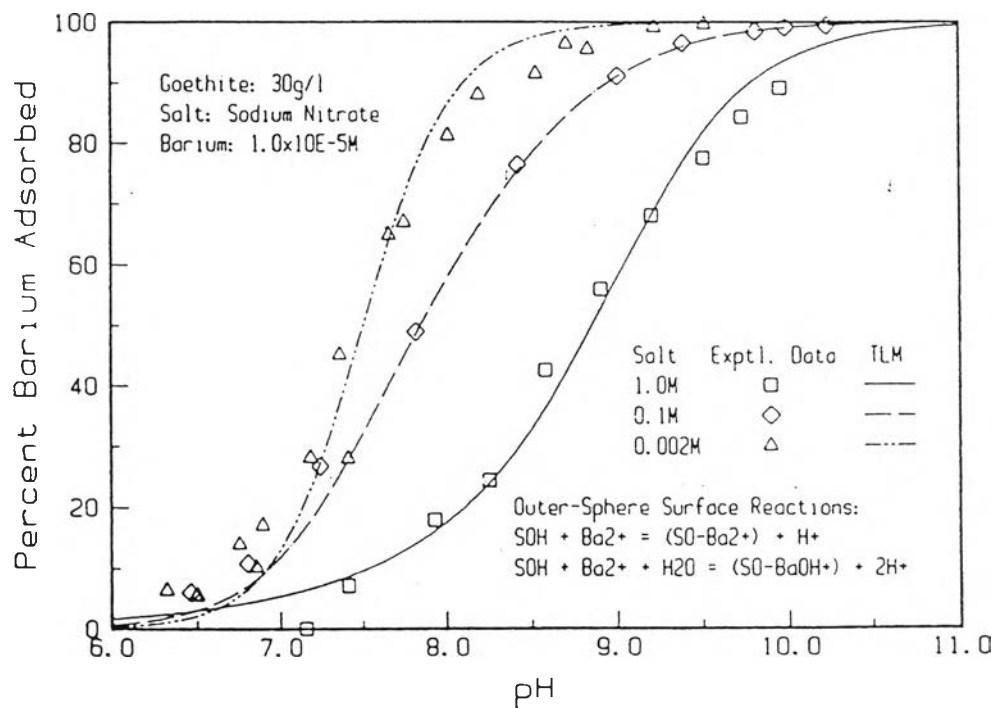
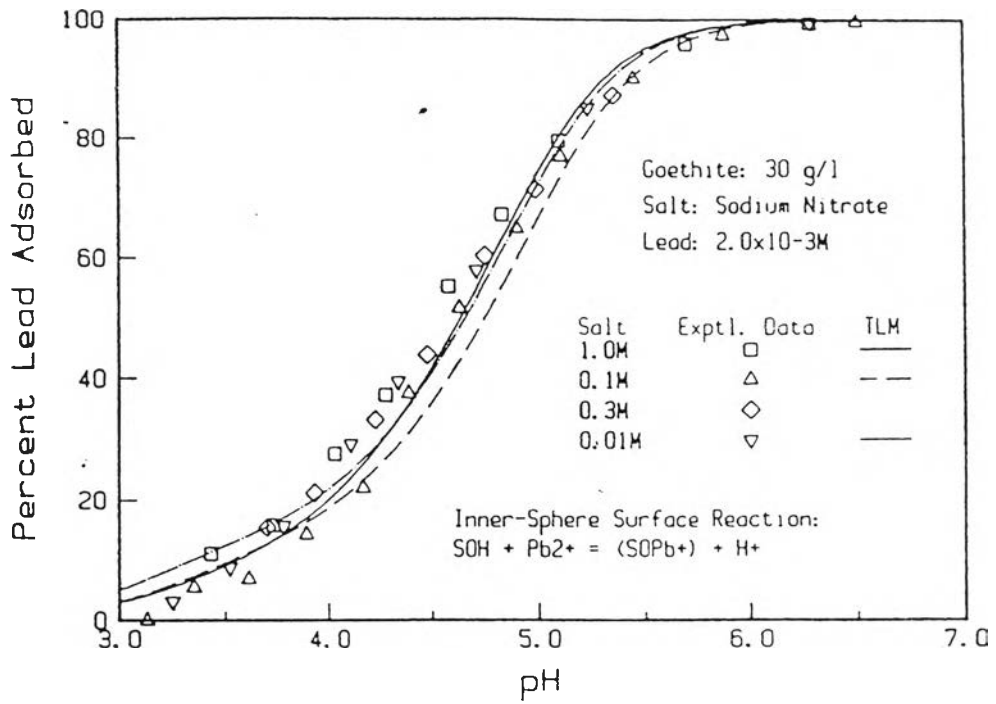
### 2.3.6.1 การดูดติดผิวของประจุบวก

อิออนโลหะประจุบวกนอกจากจะรวมตัวกับหมู่ไฮดรอกซิลที่อยู่ในน้ำแล้ว ยังสามารถจับยึดอย่างแข็งแรงกับพื้นผิวไฮดรอกไซด์ได้ด้วย (Dzombak and Morel , 1981 อ้างถึงใน Jame and Douglas , 1990) รูปที่ 2.11 ซึ่งให้เห็นถึงความสัมพันธ์ของพีเอชกับการดูดติดผิวประจุบวกบนวัสดุหลายชนิด สำหรับโลหะทรานสิชันส่วนใหญ่จะถูกดูดติดผิวเพิ่มจากศูนย์ไปถึงเกือบ 100% ในช่วงพีเอชแคบๆ (Benjamin and Leckie ,1981a อ้างถึงใน Jame and Douglas , 1990) เป็นที่ทราบกันว่า การดูดติดผิวของประจุบวกบนพื้นผิวไฮดรอกไซด์โดยทั่วไปจะคู่กับการปล่อย  $H^+$  (หรือเรียกอีกอย่างหนึ่งว่า การดูดติดผิวของ  $OH^-$ ) (Jame and Healy ,1972a อ้างถึงใน Jame and Douglas , 1990) แต่ net stoichiometry ของกระบวนการดูดติดผิวยังเป็นที่เข้าใจกันน้อย (Heyes and Leckies ,1986 อ้างถึงใน Jame and Douglas , 1990) ประจุบวกและประจุลบที่ถูกดูดติดผิวบนผิวออกไซด์จะมีผลตอบสนองทั้งแรงของปฏิกิริยาเคมี และแรงไฟฟ้าสถิตย์ (Jame and Healy ,1972b อ้างถึงใน Jame and Douglas , 1990) อย่างไรก็ตาม โลหะทรานสิชันประจุบวกสามารถดูดติดผิวอย่างแข็งแรงโดยต่อต้านแรงแม่เหล็กทางไฟฟ้าสถิตย์ได้ (Davis and Leckie ,1978a อ้างถึงใน Jame and Douglas , 1990) ซึ่งชี้ให้เห็นว่าโคออร์ดิเนตเคมีของอิออนโลหะที่ทำปฏิกิริยากับหมู่ไฮดรอกซิลที่พื้นผิวมีความสำคัญอย่างมาก (Stumm et al.,1976 อ้างถึงใน Jame and Douglas , 1990) อิออนโลหะเหล่านี้เป็นกรดอ่อน (Pearson ,1968 อ้างถึงใน Jame and Douglas , 1990) และมีแนวโน้มที่จะทำปฏิกิริยากับหมู่ไฮดรอกซิลที่พื้นผิว (Hayes ,1987 อ้างถึงใน Jame and Douglas , 1990) การดูดติดผิวของประจุบวกโดยเหล็กไฮดรอกไซด์ (รูปที่ 2.12 a) พบว่าเกือบจะไม่มีผลกับ ionic strength เลย (Heyes and Leckies ,1986 อ้างถึงใน Jame and Douglas , 1990) ถึงแม้ว่าการดูดติดผิวของประจุบวกบนไฮดรอกไซด์อื่น เช่น quartz , titania และ clay minerals บางอย่างอาจจะมีผลกับ ionic strength บ้าง (Vuceta ,1976 ;Chang et al.,1987 อ้างถึงใน Jame and Douglas , 1990) ส่วนประจุบวกที่มีการดูดติดผิวที่ไม่แข็งแรง (กรดแก่) เช่น อิออนของธาตุหมู่ IIA ( $Ca^{2+}$  ,  $Mg^{2+}$  ,  $Ba^{2+}$ ) โดยทั่วไปจะไม่เกิดแรงยึดเหนี่ยวแบบโคเวเลนต์ และการดูดติดผิวของอิออนเหล่านี้ (รูปที่ 2.12 b) จะมีผลกับแรงไฟฟ้าสถิตย์และ ionic strength ด้วย (Kiniburgh et al., 1975 อ้างถึงใน Jame and Douglas , 1990) นอกจากนี้ยังมีการศึกษาเกี่ยวกับผลของอุณหภูมิที่มีต่อการดูดติดผิว (Johnson ,1990 อ้างถึงใน Jame and Douglas , 1990) โดยทั่วไปพบว่า การดูดติดผิวของประจุบวกจะเพิ่มขึ้นเมื่ออุณหภูมิสูงขึ้น



รูปที่ 2.11 ผลของพีเอชที่มีต่อการดูดติดผิวโลหะประจุบวกโดยวัสดุหลายชนิด

- การดูดติดผิวบน goethite (McKenzie ,1980 อ้างถึงใน Jame and Douglas , 1990)
- การดูดติดผิวบน humic acid (Kerndorf and Schnitzer ,1980 อ้างถึงใน Jame and Douglas , 1990)
- การดูดติดผิวบน อะลูมิเนียมไฮดรอกไซด์ (Kinniburgh ,1975 อ้างถึงใน Jame and Douglas , 1990)
- การดูดติดผิวบน montmorillonite (Farrah and Pickering ,1977 อ้างถึงใน Jame and Douglas , 1990)



รูปที่ 2.12 ผลของพีเอช และความเข้มข้นของ  $NaNO_3$  (ionic strength) ที่มีต่อการดูดติดผิว  $Pb^{2+}$  และ  $Ba^{2+}$  โดย goethite

( Hayes , 1987 อ้างถึงใน Jame and Douglas , 1990)

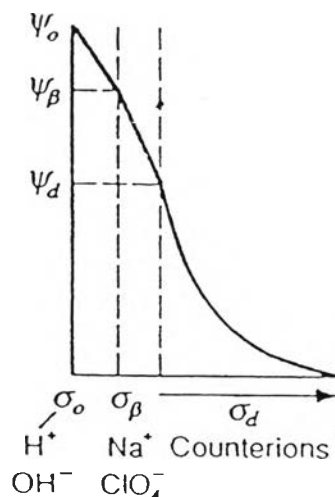
- การดูดติดผิวของ  $Pb^{2+}$  เป็นแบบ inner-sphere complex
- การดูดติดผิวของ  $Ba^{2+}$  เป็นแบบ outer-sphere complex

### 2.3.7 Surface Complexation Model

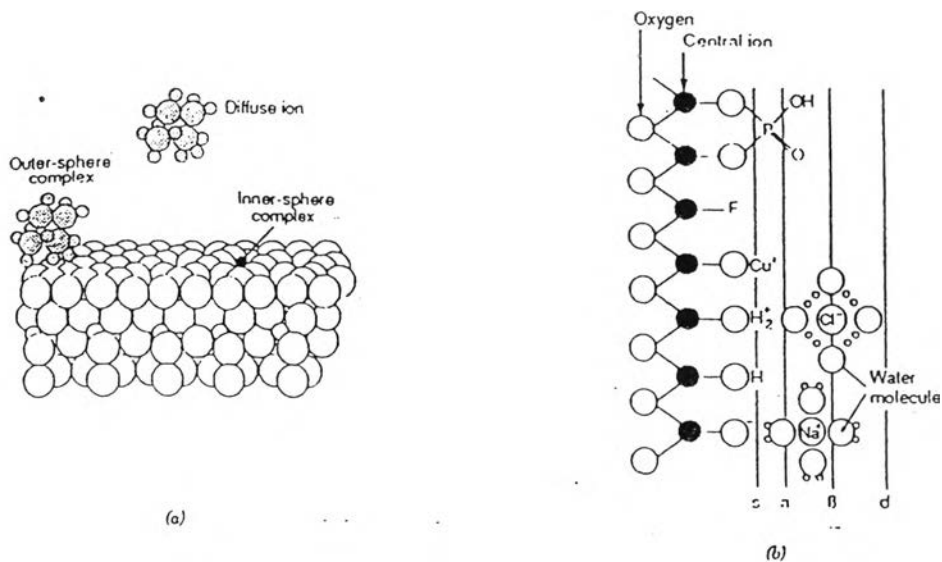
Davis และ Kent (1990) ได้สรุปแนวคิดพื้นฐานสำหรับ Surface Complexation Models ทุกแบบดังนี้

1. พื้นผิวจะต้องประกอบด้วยหมู่ฟังก์ชันเฉพาะที่ทำปฏิกิริยากับตัวถูกละลายเพื่อเกิดเป็น Surface Complexes ในรูปแบบที่คล้ายคลึงกับปฏิกิริยาที่เกิดในสารละลายเนื้อเดียว
2. สมดุลของ Surface Complexation กับปฏิกิริยาการแตกตัวเป็นไอออน สามารถอธิบายได้ด้วยสมการของกฎทรงมวล พร้อมกับ correction factors ที่ปรับใช้สำหรับการเปลี่ยนแปลงของพลังงานไฟฟ้าสถิตโดยใช้ทฤษฎี Electric Double Layer
3. ประจุไฟฟ้าและศักย์ไฟฟ้าที่พื้นผิวเป็นผลเนื่องมาจากการเกิดปฏิกิริยา Surface Coordination ของพื้นผิวเอง
4. ค่าคงที่การดูดติดผิวเป็นค่าที่ได้มาจากการสังเกตซึ่งสัมพันธ์กับค่าคงที่ทางเทอร์โมไดนามิกขโดยพิจารณาเทียบกับค่าสัมประสิทธิ์ต่างๆของพื้นผิวแต่ละแบบ

การดูดติดผิวของไอออนโลหะกับเหล็กออกไซด์สามารถอธิบายได้โดยใช้ Triple-Layer Model โดยมีรายละเอียดดังนี้ ชั้นที่ 1. near-surface plane, เป็นพื้นผิวสำหรับการดูดติดผิวของ  $H^+$ ,  $OH^-$  และ strongly-adsorbed ions, ชั้นที่ 2.  $\beta$ -plane, เป็นชั้นที่อยู่ใกล้พื้นผิวสำหรับ weakly-adsorbed ions และชั้นที่ 3. diffuse layer plane, เป็นชั้นที่แสดงถึงระยะทางที่ไกลที่สุดของ dissociated charge ดังแสดงในรูปที่ 2.13 และ 2.14



รูปที่ 2.13 รูปจินตนาการที่ชี้ให้เห็นถึงการลดลงของศักย์ไฟฟ้าเมื่อเทียบกับระยะทางที่ห่างจากพื้นผิวใน triple layer model ( Davis and Kent, 1990)



รูปที่ 2.14 (a) Surface complex ของอิออนบนพื้นผิวไฮดรอกไซด์  
 (b) แบบจำลองพื้นผิวไฮดรอกไซด์แสดงรูปแบบการเกิดปฏิกิริยากับหมู่ไฮดรอกซิล ที่พื้นผิว inner-sphere complexes, outer-sphere complex, และ the diffuse layer  
 (Stumm and Morgan, 1995)

สำหรับระบบที่ประกอบด้วยอิออนของโลหะมากกว่าหนึ่งชนิด การแข่งขันการดูดติดผิวระหว่างโลหะเป็นสิ่งที่ควรให้ความสำคัญ (Benjamin and Bloom, 1981 อ้างถึงใน Khaodhiar, 1997) ศึกษาผลของประจุลบที่มีต่อโลหะที่ดูดติดผิวอย่างแข็งแกร่งกับ amorphous iron oxyhydroxide พบว่าประจุลบไม่มีผลต่อชันการดูดติดผิวของโลหะนั้นกล่าว ชี้ให้เห็นว่าการแข่งขันของประจุบวกที่ดูดติดผิวอย่างแข็งแกร่งและประจุลบที่พื้นผิวมีน้อยมาก และให้เหตุผลว่าเป็นเพราะพื้นที่ที่เกิดการดูดติดผิวของประจุลบเป็นพื้นที่ที่แตกต่างหากออกมาจากพื้นที่การดูดติดผิวของประจุบวก

ในตารางที่ 2.3 ได้สรุปสมดุลการดูดติดผิวที่สำคัญสำหรับโลหะและลิแกนด์บนพื้นผิวออกไซด์ (Stumm and Morgan, 1995) สมดุลของกรด-เบสไม่เพียงแต่มีผลเป็นพิเศษต่อโลหะในสารละลาย ยังมีผลถึงประจุที่พื้นผิวออกไซด์ด้วย การมีอยู่ของลิแกนด์สามารถเพิ่มหรือลดความสามารถการดูดติดผิว โดยขึ้นอยู่กับชนิดของโลหะและลิแกนด์ ชนิดของสารที่ใช้ในการดูดติดผิว และพีเอช (Benjamin and Leckie, 1981 อ้างถึงใน Khaodhiar, 1997)

ตารางที่ 2.3 สมการสมดุลการดูดติดผิวของ Surface Complex

(Stumm and Morgan, 1995)

---

Acid-Base Equilibria for Surface

---



Metal Binding ( $\text{M}^{z+}$  = metal)

---



Ligand Exchange ( $\text{L}^-$  = ligand)

---



Ternary Surface Complex Formation

---

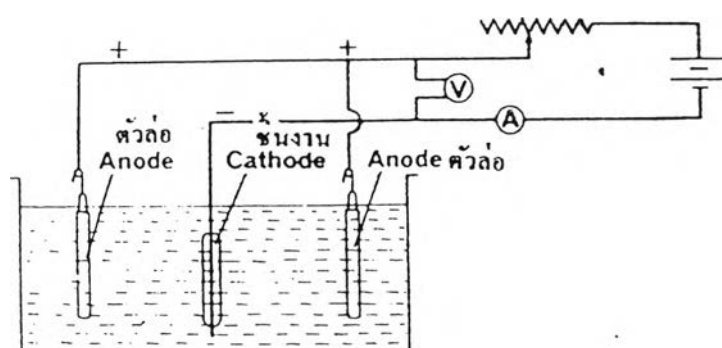


S-OH = oxide surfaces

## 2.4 การชุบโลหะและผลกระทบบของโลหะหนักในน้ำเสีย

### 2.4.1 หลักการเบื้องต้นของการชุบโลหะด้วยไฟฟ้า

การชุบโลหะด้วยไฟฟ้า คือ การทำให้โลหะไปเคลือบเกาะบนโลหะอีกชนิดหนึ่งด้วยกรรมวิธีเคมี-ไฟฟ้า โดยจุ่มชิ้นงานที่จะทำการชุบลงในน้ำยาชุบ แล้วต่อเข้ากับขั้วลบของกระแสไฟฟ้าตรง ซึ่งเรียกว่าขั้วลบ (Cathode) และมีตัวล่อหรือขั้วบวก (Anode) ต่อเข้ากับขั้วบวกของเครื่องแปลงกระแสไฟฟ้า เมื่อไฟฟ้าครบวงจรก็จะเกิดการเกาะจับของโลหะที่ขั้วลบ (ชิ้นงาน) ดังแสดงในรูปที่ 2.15



รูปที่ 2.15 วิธีการชุบโลหะด้วยไฟฟ้า ( อนันต์, 2527 )

วัตถุประสงค์ของการชุบชิ้นงานเพื่อ

- ความสวยงาม
- เปลี่ยนคุณสมบัติของผิวชิ้นงาน เช่น เพิ่มความแข็งแรง ป้องกันสนิม
- เพิ่มความหนาของชิ้นงานในกรณีที่ชิ้นงานสึกกร่อน

น้ำยาชุบโลหะแบ่งได้เป็นสองพวกคือ

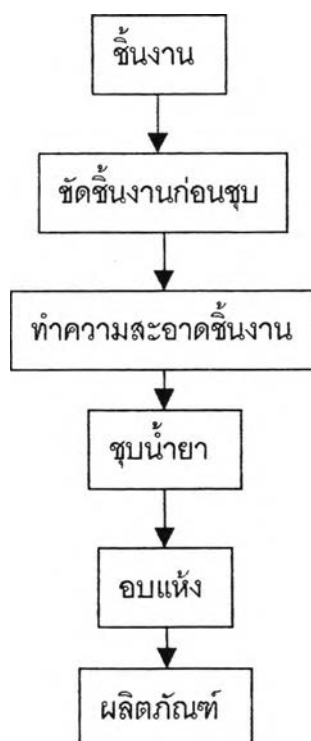
พวกที่หนึ่ง เป็นตัวนำไฟฟ้าโดยตัวเองไม่เกิดการเปลี่ยนแปลงทางเคมี เป็นเพียงสะพานเพื่อให้กระแสผ่านเท่านั้น เช่น โลหะต่างๆ แกรไฟต์ ผงบรอนซ์ เป็นต้น

พวกที่สอง เป็นตัวนำไฟฟ้าโดยตัวเองแยกสลายออกเป็นอนุภาคเล็กๆ ในขณะที่กระแสไฟฟ้าไหลผ่านตัวมัน เช่น น้ำเจือกรด และสารละลายของเกลือต่างๆ เป็นต้น



## 2.4.2 ขั้นตอนในการชุบโลหะ

ความซับซ้อนของขั้นตอนในการชุบโลหะจะขึ้นอยู่กับชนิดโลหะที่เป็นวัตถุดิบ และชนิดของผิวโลหะที่ต้องการ รูปแบบขั้นตอนการชุบชิ้นงานดังแสดงในรูปที่ 2.16



รูปที่ 2.16 ขั้นตอนการชุบโลหะด้วยไฟฟ้าอย่างง่าย

การทำความสะอาดชิ้นงานเป็นสิ่งสำคัญมาก เพราะถ้าชิ้นงานไม่สะอาดอาจทำให้การชุบไม่ดีเท่าที่ควร การทำความสะอาดและกรรมวิธีของการเตรียมงานก่อนการชุบนั้นมีหลายวิธีด้วยกันเช่น

การชัดชิ้นงานก่อนชุบ แบ่งออกเป็น การขัดหยาบและการขัดละเอียด โดยการขัดหยาบเป็นการชัดขั้นแรก ซึ่งจะขัดเอารอยขีดข่วนหรือบริเวณไม่สม่ำเสมอออก ส่วนการขัดละเอียดเป็นการขัดต่อเพื่อลบรอยจากการขัดหยาบทำให้ชิ้นงานเรียบ

การกำจัดไขมัน หรือการทำความสะอาดขั้นแรก เป็นการเอาน้ำมันหรือไขมันออกจากผิวงานที่ทำการชุบด้วยการจุ่มชิ้นงานในไตรคลอโรเอทรีลีน (Trichloroethylene) ที่จุดเดือด  $86^{\circ}\text{C}$  ซึ่งไอรระเหยของไตรคลอโรเอทรีลีนจะถูกกลั่นตัวอยู่บนผิวชิ้นงาน และทำการชำระล้างไขมันหรือน้ำมันลงสู่ถัง

การทำความสะอาดด้วยกรดหรือจุ่มเงา เป็นการกัดสนิมเหล็กบางๆ เหล็กกล้า ทองแดง ทองเหลือง นิกเกิลเงา และทองแดงผสมอื่นๆ ด้วยกรดกำมะถันเข้มข้น 5-10 เปอร์เซ็นต์โดยปริมาตร หรือใช้กรดเกลือในอัตราส่วน กรด 1 ส่วนต่อน้ำ 5 ส่วน

การล้างด้วยน้ำต่างร้อน หลังจากผ่านการขัดผิวชิ้นงานแล้วควรล้างด้วยน้ำร้อนก่อน เพื่อให้ชิ้นงานสะอาดหมดจดในการล้างขั้นต่อไป

การล้างด้วยไฟฟ้า คือการปล่อยกระแสไฟฟ้าผ่านลงในน้ำยาต่างที่ร้อนประมาณ 60-90°C แบ่งเป็น การล้างโดยให้ชิ้นงานเป็นขั้วบวก (Anode Clean) เหมาะสำหรับชิ้นงานเหล็ก และการล้างโดยให้ชิ้นงานเป็นขั้วลบ (Cathode Clean) เหมาะสำหรับชิ้นงานที่ไม่ใช่เหล็ก

การทำความสะอาดด้วยเครื่องอัลตราโซนิค เป็นการทำความสะอาดด้วยระบบคลื่นความถี่สูง ส่วนมากนิยมใช้กับชิ้นงานเล็กๆ เช่น ชิ้นส่วนของนาฬิกา กรอบแว่นตา เป็นต้น

### 2.4.3 การชุบนิกเกิล

นิกเกิลเป็นโลหะสีขาวคล้ายเงิน นิยมนำมาใช้ในการชุบอย่างกว้างขวางที่สุด ประโยชน์ของการชุบนิกเกิลเพื่อรักษาและป้องกันเนื้อโลหะที่ถูกชุบนั้นให้ทนอยู่ได้นานและแลดูสวยงามยิ่งขึ้น ปกติผิวโลหะที่ชุบด้วยนิกเกิลแล้วจะต้องชุบเคลือบทับบางๆ ด้วยโครเมียม หรือชุบทับด้วยทองแดง หรือเงินแล้วแต่ต้องการ นิกเกิลจะเป็นตัวรองพื้นไว้ก่อนและนิกเกิลมีตัวยาที่ทำให้เงาได้ลงไปใต้น้ำยาชุบด้วย ทำให้ชุบขึ้นมาเป็นเงาสวยงาม

ส่วนผสมของน้ำยา ได้แก่

- นิกเกิลซัลเฟต เป็นตัวให้นิกเกิลอิออน
- นิกเกิลคลอไรด์ ทำให้เกิดนิกเกิลอิออน และเพิ่มความนำไฟฟ้าในน้ำยาชุบและช่วยให้ขั้วบวกละลายได้ดีขึ้น
- กรดบอริก ทำหน้าที่เป็นตัวปะทะเพื่อป้องกันการเปลี่ยนแปลงของค่าพีเอชในน้ำยาชุบ

การชุบนิกเกิลสามารถแบ่งออกเป็นหลายประเภทดังต่อไปนี้

- 1) นิกเกิลด้าน (Dull Nickel) ปัจจุบันการชุบนิกเกิลด้านมีการชุบน้อย และใช้ชุบชิ้นงานที่ไม่เหมาะจะชุบนิกเกิลเงา
- 2) นิกเกิลกึ่งเงา (Semi-bright Nickel) ใช้ชุบรองพื้นก่อนชุบนิกเกิลเงา ซึ่งนิกเกิลกึ่งเงานี้มีความเหนียวดีกว่านิกเกิลเงา และไม่เปราะ เนื่องจากมีการใส่สารบางอย่าง เช่น Coumarin เพื่อให้เกิดความเหนียวแน่นบนผิวนิกเกิล
- 3) นิกเกิลเงา (Bright Nickel) นิยมใช้มากในอุตสาหกรรมชุบโลหะเพราะเป็นตัวชุบรองพื้นก่อนชุบโครเมียม ทองเหลือง เงิน หรือทอง

4) นิกเกิลดำ (Black Nickel) นิยมใช้ในงานประเภทเดียวกับงานรมดำ เช่น อวูกรอบแว่นตา เป็นต้น ซึ่งไม่ต้องการให้สะท้อนแสง

5) นิกเกิลซาติน (Satin Nickel) การชุบโลหะชนิดนี้จะได้สีเหลืองเหมือนสีแพรวหรือเหลืองเหมือนผิวไข่มุก โดยมากจะใช้กับเครื่องใช้ภายในบ้านซึ่งไม่ต้องการให้สะท้อนแสง

6) นิกเกิลแบบหนา (Heavy Electrodeposition of Nickel) การชุบนิกเกิลแบบนี้เป็นการชุบพอกแบบหนา อย่างเช่นให้ชิ้นงานที่สึกหรอกลับมา มีความหนาเท่าเดิม ซึ่งใช้ในงานด้านวิศวกรรม

#### 2.4.4 ผลกระทบของโลหะหนักในน้ำเสียจากโรงงานชุบโลหะ

ในตารางที่ ข.1 ภาคผนวก ข แสดงถึงลักษณะน้ำเสียของโรงงานอุตสาหกรรมจำนวน 80 โรงงานในเขตกรุงเทพมหานครและปริมณฑล ( กรมโรงงานอุตสาหกรรม, 2542 )

น้ำเสียจากโรงงานชุบโลหะจะมีสารมลพิษสูงเจือปนอยู่ คือโลหะหนัก และไซยาไนด์ ซึ่งการปล่อยมลสารเหล่านี้ลงสู่สิ่งแวดล้อมจะก่อให้เกิดผลกระทบต่อสิ่งมีชีวิตในน้ำ ระบบบำบัดน้ำเสียชุมชนและอันตรายต่อสุขภาพมนุษย์โดยตรง

ทองแดง เป็นโลหะที่ร่างกายต้องการเพียงเล็กน้อย ผู้ใหญ่ต้องการประมาณ 2 มก.ต่อวัน แต่ถ้าร่างกายได้รับมากเกินไปจะก่อให้เกิดโทษ เช่น รับประทานคอปเปอร์ซัลเฟตในปริมาณ 27 กรัม ทำให้เสียชีวิตได้

นิกเกิล มีการศึกษาพบว่านิกเกิลในน้ำเสียจากการชุบโลหะมีผลกระทบต่อปลา รวมถึงมีผลกระทบต่อกระบวนการไนตริฟิเคชัน และต่อระบบบำบัดน้ำเสีย ส่วนสารประกอบนิกเกิลคาร์บอนิล ( Nickel Carbonyl ) เป็นสารก่อมะเร็ง

ตะกั่ว เป็นโลหะที่ร่างกายไม่ต้องการ แต่ร่างกายคนเราสามารถทนต่อตะกั่วได้ดี คนทั่วไปสามารถมีตะกั่วในเลือด 0.25 ppm โดยไม่เป็นอันตราย แต่ถ้าได้รับในปริมาณมากทันทีทันใด เช่น พบในเลือด 0.8 ppm เกิดเป็นพิษเฉียบพลันได้

สังกะสี ถ้าอยู่ในรูปของธาตุจะไม่ปรากฏความเป็นพิษ แต่สารประกอบหลายตัวเป็นพิษ แต่อยู่ในเกณฑ์ที่ต่ำ

โครเมียม สารประกอบโครเมียมประจุบวกสามไม่ปรากฏความเป็นพิษต่อร่างกาย แต่สารประกอบโครเมียมประจุบวกหก ทำให้เกิดอาการคันที่ผิวหนัง ผิวหนังอักเสบกลายเป็นแผลติดเชื้อขึ้นได้ การสูดไอกรดโครมิกเป็นประจำจะทำให้ผนังกันในจมูกถูกเจาะทะลุ เกิดมะเร็งที่ปอดได้

ไซยาไนด์ ก๊าซไฮโดรเจนไซยาไนด์เป็นพิษอย่างแรง ระคายเคืองต่อระบบทางเดินหายใจ และอาจทำให้เสียชีวิตได้

## 2.5 กระบวนการบำบัดน้ำเสียจากโรงงานชุบโลหะที่ใช้กันในปัจจุบัน

### 2.5.1 กระบวนการบำบัดน้ำเสียจากโรงงานชุบโลหะ

ในการบำบัดน้ำเสียจากโรงงานชุบโลหะนั้นสามารถทำได้โดยอาศัยกระบวนการอย่างใดอย่างหนึ่งหรือหลายอย่างรวมกันดังต่อไปนี้

1) การตกผลึก (Precipitation) เป็นการเปลี่ยนรูปจากโลหะที่ละลายน้ำให้อยู่ในรูปที่ไม่ละลายน้ำ โดยกระบวนการทางเคมี โลหะหนักที่พบในน้ำเสียและเป็นปัญหามักอยู่ในรูปของสารละลาย การกำจัดโลหะหนักจึงจำเป็นต้องทำให้เกิดการตกผลึกของแข็งเสียก่อน โลหะหนักที่ละลายอยู่ในน้ำเสียมักทำให้ตกผลึกได้โดยการเพิ่มพีเอช ดังนั้นการเติมปูนขาวให้กับน้ำเสียจนมีพีเอชเพิ่มขึ้นถึงระดับที่เหมาะสมจะทำให้โลหะหนักตกผลึกได้ จากนั้นจึงทำให้ผลึกของแข็งรวมกันกลายเป็นฟล็อกด้วยกระบวนการโคแอกกูเลชัน (Coagulation) แล้วจึงแยก ฟล็อก ออกจากน้ำด้วยถังตกตะกอน

2) การรวมตะกอน (Flocculation) เป็นกระบวนการทำให้ตะกอนรวมตัวกันมีขนาดใหญ่ขึ้น สามารถตกตะกอนได้เร็ว

3) การตกตะกอน (Sedimentation) เป็นกระบวนการที่ใช้แยกของแข็งออกจากน้ำ สารประกอบโลหะหนักมีความหนาแน่นมากกว่าน้ำสามารถตกตะกอนได้เร็ว โดยกระบวนการนี้มักจะต่อจากกระบวนการตกตะกอนทางเคมีและกระบวนการรวมตะกอน

4) การกรอง (Filtration) เป็นการแยกของแข็งออกจากน้ำ เนื่องจากตะกอนบางส่วนที่มีขนาดเล็กและแขวนลอยได้ไม่สามารถแยกได้โดยการตกตะกอนเพียงอย่างเดียว

5) ออกซิเดชันและรีดักชัน (Oxidation/Reduction) เป็นกระบวนการทางเคมีที่มีการเปลี่ยนแปลงค่าเลขประจุโดยการเติมสารเคมีซึ่งอาจเป็น Oxidant หรือ Reductant อย่างใดอย่างหนึ่งไปทำปฏิกิริยาออกซิเดชัน/รีดักชันกับสารมลพิษเพื่อให้มีความเป็นพิษน้อยลงและสามารถกำจัดได้ง่ายขึ้น เช่น ไซยาไนด์ และโครเมียมประจุบวกหก

6) กระบวนการแลกเปลี่ยนประจุ (Ion Exchange) ในกรณีที่ไม่ต้องการใช้วิธีสร้างตะกอนแข็งกำจัดโลหะหนักต่างๆ อาจใช้กระบวนการแลกเปลี่ยนไอออนแทนได้ วิธีนี้ใช้เรซินแลกเปลี่ยน

เปลี่ยนไอออน (Ion Exchange Resin) บรรจุอยู่ในถังและปล่อยให้ น้ำเสียที่มีโลหะหนักที่มีประจุบวกหรือสารประกอบที่มีประจุลบไหลผ่าน เมื่อผ่านเรซินโลหะหนักต่างๆในน้ำเสียในรูปไอออนที่มีประจุบวกก็จะถูกแลกเปลี่ยนกับ  $H^+$  ของเรซินทำให้น้ำทิ้งปราศจากโลหะหนักและมีคุณภาพดีขึ้นและได้น้ำที่มีความเข้มข้นของโลหะหนักหรือสารประกอบสูงมาก อาจนำกลับมาใช้ใหม่ได้หรือกำจัดด้วยวิธีอื่น

7) การระเหย (Evaporation) เป็นการให้ความร้อนในการระเหยน้ำออกไปทำให้ความเข้มข้นสูงขึ้นหรือกลายเป็นกากตะกอน พลังงานที่ใช้มาจากเชื้อเพลิง การถ่ายเทความร้อน หรือใช้ความร้อนจากแสงอาทิตย์

8) รีเวอร์สออสโมซิส (Reverse Osmosis) เป็นการแยกน้ำออกจากน้ำเสียโดยใช้แรงดันอัดน้ำเสียให้ผ่านเยื่อ (Semipermeable membrane) ซึ่งมีคุณสมบัติยอมให้น้ำและสารบางตัวผ่านได้ ดังนั้นจะได้น้ำที่มีความสะอาดและน้ำเสียที่มีความเข้มข้นสูง

9) การดูดซับด้วยถ่านกัมมันต์ (Activated carbon) ถ่านกัมมันต์จะมีรูพรุนมาก มีพื้นที่ผิวต่อน้ำหนักสูง เมื่อสัมผัสกับน้ำเสียจะทำให้มลสารต่างๆ ถูกจับไว้ในช่องรูพรุนทำให้น้ำทิ้งสะอาด

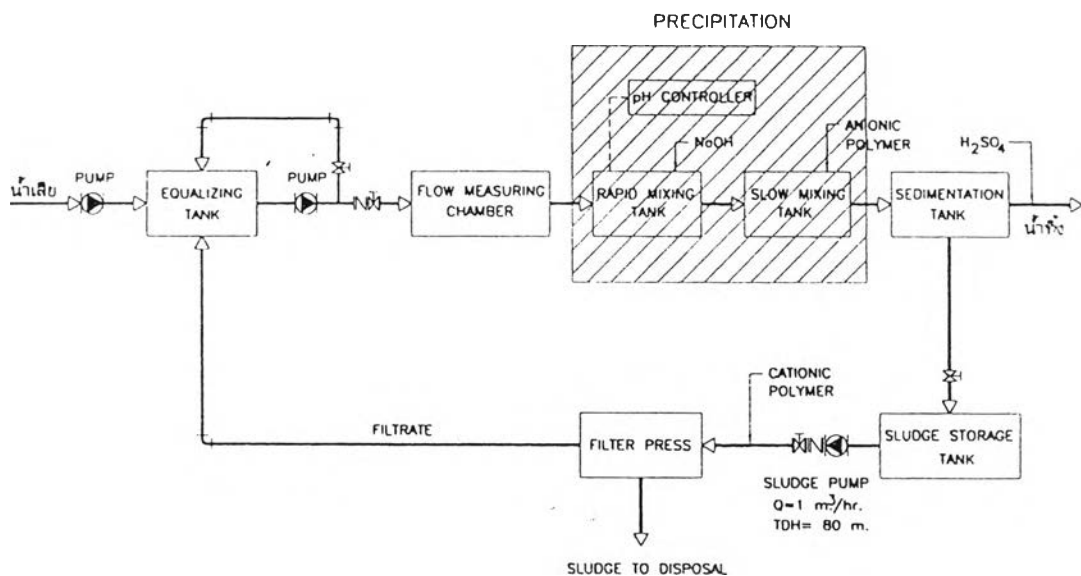
หลักเกณฑ์ในการเลือกใช้กระบวนการต่างๆ ต้องพิจารณาถึงความเหมาะสมดังต่อไปนี้

- ลักษณะของน้ำเสียก่อนบำบัด
- คุณภาพของน้ำทิ้งที่ต้องการ
- พื้นที่ที่ต้องใช้ทั้งหมด
- ค่าใช้จ่ายในการบำบัดน้ำเสียและการตรวจสอบคุณภาพ
- ความยากง่ายในการเดินระบบและความปลอดภัย
- ความเป็นไปได้ในการนำของเสียกลับมาใช้ใหม่ หรือกากที่ต้องกำจัด

## 2.5.2 ตัวอย่างกระบวนการกำจัดโลหะหนักด้วยวิธีตกผลึก

โลหะหนักที่พบในน้ำเสียและเป็นปัญหามักอยู่ในรูปสารละลาย ทำให้ไม่สามารถบำบัดออกจากน้ำได้ด้วยวิธีตกตะกอนหรือกรองเพียงลำพัง การกำจัดโลหะหนักจำเป็นต้องให้เกิดการตกผลึกของแข็ง (Precipitation) เสียก่อน จากนั้นจึงทำให้ผลึกของแข็งรวมกันเป็นกลุ่มก้อนหรือฟล็อกเพื่อทำให้สามารถแยกออกจากน้ำได้ด้วยวิธีตกตะกอนและวิธีกรอง

โลหะหนัก เช่น Zn, Ni, Cu, Pb, Cd และอื่นๆ ที่ละลายอยู่ในน้ำเสียมักทำให้ตกผลึกได้โดยการเพิ่มพีเอช ( รูปที่ 2.17 ) ดังนั้นการเติมปูนขาวให้กับน้ำเสียจนมีพีเอชเพิ่มขึ้นถึงระดับที่เหมาะสมจะทำให้โลหะหนักตกผลึกได้ จากนั้นจึงทำให้ผลึกของแข็งรวมตัวกันกลายเป็นฟล็อกด้วยกระบวนการโคแอกกูเลชันแล้ว จึงแยกฟล็อกออกจากน้ำถึงตกตะกอน



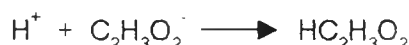
รูปที่ 2.17 ระบบกำจัดโลหะหนักออกจากน้ำเสียด้วยวิธีการตกผลึก  
( มั่นสิน, 2542)

## 2.6 สารละลายบัฟเฟอร์

### 2.6.1 ทฤษฎี

ระบบทางเคมีบางระบบต้องการพีเอชที่คงตัว ถ้าพีเอชเปลี่ยนแปลงไปอาจทำให้ระบบนั้นคงอยู่ไม่ได้ ระบบถูกทำลายหรือให้ผลของปฏิกิริยาเป็นสารอื่นที่เราไม่ต้องการ เราอาจรักษาพีเอชไว้ไม่ให้เปลี่ยนแปลงไปจากเดิมมากนักด้วยสารละลายที่เรียกว่า สารละลายบัฟเฟอร์

สารละลายบัฟเฟอร์ คือ สารละลายซึ่งพีเอชไม่เปลี่ยนแปลงไปมากนักเมื่อเติมกรดแก่หรือเบสแก่เล็กน้อย สารละลายบัฟเฟอร์มักจะทำจากกรดอ่อนผสมกับเกลือของกรดนั้น หรือทำจากเบสอ่อนผสมกับเกลือของเบสนั้น กรดแอซีติก  $\text{HC}_2\text{H}_3\text{O}_2$  กับเกลือโซเดียมแอซีเตต  $\text{NaC}_2\text{H}_3\text{O}_2$  เป็นสารละลายบัฟเฟอร์ชนิดหนึ่ง ถ้าเติมกรดแก่ลงไปสักเล็กน้อย  $\text{H}^+$  ที่มาจากกรดที่เติมลงไปจะไม่ทำให้ความเข้มข้นของไฮโดรเจนไอออนเปลี่ยนแปลงไปมากนัก ทั้งนี้เนื่องจาก  $\text{H}^+$  จะเข้าไปรวมกับ  $\text{C}_2\text{H}_3\text{O}_2^-$  ซึ่งมีจำนวนมากในสารละลายนั้นไปเป็นโมเลกุล  $\text{HC}_2\text{H}_3\text{O}_2$  ซึ่งไม่ใคร่แตกตัวเป็นไอออน

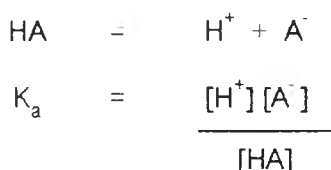


เท่ากับเป็นการกำจัด  $\text{H}^+$  ไปในตัว ค่า  $[\text{H}^+]$  จึงไม่เปลี่ยนแปลงไปมากนัก ไม่เหมือนเติมกรดแก่ลงในสารละลายที่ไม่มี  $\text{C}_2\text{H}_3\text{O}_2^-$  อยู่ด้วย ผลที่ได้ในการนี้คือ  $[\text{HC}_2\text{H}_3\text{O}_2]$  เพิ่มขึ้น ส่วน  $[\text{C}_2\text{H}_3\text{O}_2^-]$  ลดลง และถ้าหากเติมเบสแก่ลงไปในสารละลาย  $\text{HC}_2\text{H}_3\text{O}_2$  ที่มี  $\text{C}_2\text{H}_3\text{O}_2^-$  ปริมาณ  $\text{OH}^-$  ที่เพิ่มขึ้นในสารละลายจะไม่ทำให้สารละลายเปลี่ยนเป็นเบสมากนัก เพราะ  $\text{OH}^-$  จะเข้ารวมกับ  $\text{H}^+$  ที่แตกตัวจาก  $\text{HC}_2\text{H}_3\text{O}_2$  ซึ่งเป็นกรดอ่อนคอยแตกตัวให้  $\text{H}^+$  อยู่เรื่อยเพื่อให้ระบบเข้าสู่สมดุล ผลที่ได้จากการรวมระหว่าง  $\text{OH}^-$  กับ  $\text{H}^+$  ที่มาจาก  $\text{HC}_2\text{H}_3\text{O}_2$  ทำให้ได้  $\text{C}_2\text{H}_3\text{O}_2^-$  กับ  $\text{H}_2\text{O}$



$\text{OH}^-$  ที่เติมลงไปถูกกำจัดออกไปด้วยวิธีนี้ และผลที่ได้คือ  $[\text{C}_2\text{H}_3\text{O}_2^-]$  เพิ่มขึ้น ส่วน  $[\text{HC}_2\text{H}_3\text{O}_2]$  ลดลง

สมมุติให้กรดอ่อนเป็น HA สารละลายที่มี  $\text{H}^+$  และ  $\text{A}^-$  อยู่ในสมดุล



$$[H^+] = K_a \frac{[HA]}{[A^-]} \quad (1)$$

$$pH = pK_a - \log \frac{[HA]}{[A^-]}$$

$$pH = pK_a + \log \frac{[A^-]}{[HA]} \quad (2)$$

$$\text{หรือ} \quad pH = pK_a + \log \frac{[\text{แอนไอออน}]}{[\text{กรด}]} \quad (3)$$

สมการนี้เรียกว่า สมการเฮนเดอร์สัน-ฮัสเซลบัลช์

ตามสมการที่ (1) จะเห็นได้ว่า  $\frac{[HA]}{[A^-]}$  เป็นอัตราส่วนของความเข้มข้นของกรดต่อความเข้มข้นของ

แอนไอออนหรือคู่เบสของกรดนั้นในสารละลายบัฟเฟอร์ ถ้าเติม  $H^+$  ลงในสารละลายบัฟเฟอร์  $A^-$  จะเปลี่ยนไปเป็น  $HA$  เป็นการเพิ่ม  $[HA]$  และลด  $[A^-]$  หรือถ้าเติม  $OH^-$   $HA$  จะรวมกับ  $OH^-$  ไปเป็น  $A^-$  เป็นการเพิ่ม  $[A^-]$  และลด  $[HA]$  เมื่อเทียบเป็นอัตราส่วน  $[HA]$  ต่อ  $[A^-]$  ถ้าอัตราส่วนนี้เปลี่ยนไปไม่มากนัก  $[H^+]$  ก็จะไม่เปลี่ยนมาก หรือถ้าทำให้สารละลายบัฟเฟอร์เจือจางลง  $[H^+]$  ก็ไม่เปลี่ยนเช่นกัน เพราะความเข้มข้นของกรดและความเข้มข้นของเกลือเปลี่ยนไปเหมือนกันทั้งสองอย่าง ทำให้อัตราส่วนมีค่าคงเดิม

แทนที่จะกล่าวเป็นความเข้มข้นของไฮโดรเจนไอออน เราอาจคิดออกมาเป็นค่าพีเอช ดังสมการ (2) หรือตามสมการ (3) ที่ใช้คำว่า "แอนไอออน" และ "กรด" เป็นกลาง ๆ ทั่วไป อาจใช้คำว่า "เกลือ" แทน "แอนไอออน" ได้ในกรณีที่เกิดไอออนของเกลือนั้นมีประจุ +1 เช่น  $Na^+$ ,  $K^+$

สารละลายบัฟเฟอร์ทำจากกรดอ่อนและคู่เบสของกรดนั้น หรือใช้เบสอ่อนกับคู่กรดของเบสนั้น เช่น  $HC_2H_3O_2$  กับ  $C_2H_3O_2^-$  หรือ  $NH_3$  กับ  $NH_4^+$   $HC_2H_3O_2-C_2H_3O_2^-$  ก็ดี หรือ  $NH_3-NH_4^+$  ก็ดี เรียกว่าคู่บัฟเฟอร์ สำหรับคู่เบสและคู่กรด ใช้เกลือซึ่งปรกติแตกตัวอย่างสมบูรณ์ให้อิออนชนิดนั้น เช่น ใช้  $NaC_2H_3O_2$  และ  $NH_4Cl$  เป็นต้น

การทำหน้าที่บัฟเฟอร์จะมีประสิทธิภาพมากถ้าพีเอชของบัฟเฟอร์นั้นอยู่ใกล้เคียงกับพีเอชเมื่อความเข้มข้นของแอนไอออนกับของกรดเท่ากัน (คือ  $= pK_a$ ) ความเข้มข้นของคู่บัฟเฟอร์ทั้งสองไม่ควรแตกต่างกันมากนัก จะเห็นได้ว่าถ้าทำสารละลายบัฟเฟอร์จาก 0.01 M



$\text{HC}_2\text{H}_3\text{O}_2$  กับ  $1\text{ M NaC}_2\text{H}_3\text{O}_2$  เมื่อใส่เบสแก่ลงไป กรดแอซิดิกที่มีอยู่เพียงเล็กน้อยก็就会被ทำให้เป็นกลางด้วยเบสแก่ทั้งหมดไป พีเอชของสารละลายบัฟเฟอร์นั้นจะเปลี่ยนไปได้มาก ไม่สามารถทำหน้าที่บัฟเฟอร์ได้ดี

หลักในการเตรียมสารละลายบัฟเฟอร์ คือ เลือกกรดหรือเบสที่มี  $\text{pK}_a$  หรือ  $\text{pK}_b$  ประมาณเท่ากับ  $\text{pH}$  หรือ  $\text{pOH}$  ที่ต้องการ โดยให้  $\text{pH}$  หรือ  $\text{pOH}$  ที่ต้องการนั้นมีค่าอยู่ในเกณฑ์  $\text{pK}_a \pm 1$  หรือ  $\text{pK}_b \pm 1$  ถ้าอัตราส่วน [แอนไอออน]/[กรด] เป็น 10/1  $\text{pH} = \text{pK}_a + 1$  และถ้าอัตราส่วน [แอนไอออน]/[กรด] เป็น 1/10  $\text{pH} = \text{pK}_a - 1$  โดยทั่วไปพิสัยของอัตราส่วน [แอนไอออน]/[กรด] ควรจะอยู่ในขอบเขต 10/1 ลงไปถึง 1/10 เมื่อเลือกกรด (หรือเบส) ได้แล้ว ก็คำนวณอัตราส่วนความเข้มข้นของแอนไอออนต่อความเข้มข้นของกรดที่ควรใช้ สมมติว่าถ้าผสมแอนไอออน:กรด เป็นอัตราส่วนความเข้มข้น 1:5  $[\text{H}^+]$  ของสารละลายบัฟเฟอร์นั้นจะเท่ากับ  $K_a \times (5/1)$  หรือ  $5K_a$  การเปลี่ยนแปลงอัตราส่วนแอนไอออนและกรดทำให้ได้  $[\text{H}^+]$  หรือพีเอชอยู่ในเกณฑ์ที่ต้องการ

## 2.6.2 ตัวอย่างการเตรียมสารละลายบัฟเฟอร์

ตัวอย่างการเตรียมสารละลายบัฟเฟอร์ที่มี พีเอช 5.00 จำนวน 1 ลิตร ด้วยระบบ  $\text{HC}_2\text{H}_3\text{O}_2$  กับ  $\text{C}_2\text{H}_3\text{O}_2^-$  จากสารละลาย  $0.1\text{ M HC}_2\text{H}_3\text{O}_2$  กับ  $0.1\text{ M NaC}_2\text{H}_3\text{O}_2$

การคำนวณ

$$K_a = 1.8 \times 10^{-5} \quad \text{pK}_a = 4.74$$

จากสมการเฮนเดอร์สัน-ฮัสเซลบัลซ์

$$\text{pH} = \text{pK}_a + \log \frac{[\text{A}^-]}{[\text{HA}]}$$

$$\text{หรือ} \quad \text{pH} = \text{pK}_a + \log \frac{[\text{C}_2\text{H}_3\text{O}_2^-]}{[\text{HC}_2\text{H}_3\text{O}_2]}$$

$$5.00 = 4.74 + \log \frac{[\text{C}_2\text{H}_3\text{O}_2^-]}{[\text{HC}_2\text{H}_3\text{O}_2]}$$

$$\text{หรือ} \quad 5.00 = 4.74 - \log \frac{[\text{HC}_2\text{H}_3\text{O}_2]}{[\text{C}_2\text{H}_3\text{O}_2^-]}$$

$$\log \frac{[\text{HC}_2\text{H}_3\text{O}_2]}{[\text{C}_2\text{H}_3\text{O}_2^-]} = 4.74 - 5.00 = 0.26$$

$$\frac{[\text{HC}_2\text{H}_3\text{O}_2]}{[\text{C}_2\text{H}_3\text{O}_2^-]} = 0.55$$

เนื่องจากสารละลายกรดและเกลือเข้มข้น 0.1 M เท่ากัน

ดังนั้นในการเตรียมบัฟเฟอร์ 1 ลิตร

$$\text{อัตราส่วน} \frac{\text{ปริมาตร } [\text{HC}_2\text{H}_3\text{O}_2]}{\text{ปริมาตร } [\text{C}_2\text{H}_3\text{O}_2^-]} = \frac{0.55}{1}$$

$$\text{ให้ปริมาตร } \text{HC}_2\text{H}_3\text{O}_2 = X \quad \text{ลิตร}$$

$$\text{ปริมาตร } \text{C}_2\text{H}_3\text{O}_2^- = 1 - X \quad \text{ลิตร}$$

$$\frac{X}{1 - X} = 0.55$$

$$1 - X$$

$$X = 0.35 \quad \text{ลิตร}$$

$$1 - X = 0.65 \quad \text{ลิตร}$$

ดังนั้นจึงใช้สารละลาย  $\text{HC}_2\text{H}_3\text{O}_2$  0.35 ลิตร ผสมกับสารละลาย  $\text{NaC}_2\text{H}_3\text{O}_2$  0.65 ลิตร

นอกจากนี้ยังสามารถดูรายละเอียดของสารละลายบัฟเฟอร์ชนิดอื่นๆ ได้จากตารางที่

ง.1 ภาคผนวก ง

## 2.7 ผลงานวิจัยที่ผ่านมา

Millward, G. E., and Moore, R. M., (1982) ศึกษาการดูดติดผิวของทองแดงแมงกานีส และสังกะสีบน iron-oxyhydroxide ที่เพิ่งตกตะกอนใหม่ๆ ในลักษณะที่เป็นฟังก์ชัน ของพีเอช และ salinity โดยทำการแปรเปลี่ยนค่า salinity (S = 0, 5, 10, 15%) ในการทดลองที่มี 0.05 mM Fe และ 1.5  $\mu\text{M}$  ของโลหะอื่นๆ และปล่อยให้เข้าสู่สมดุลและส่วนที่เป็นน้ำใสมากรองผ่านกระดาษกรองขนาด 0.5  $\mu\text{m}$  ทำการทดลองภายใต้ช่วงพีเอช 3.5-10 พบว่าลำดับของช่วงพีเอชที่ก่อให้เกิดการดูดติดผิวมีดังนี้คือ  $\text{Cu} < \text{Zn} < \text{Mn}$  และพบว่าค่า salinity ไม่มีผลต่อการดูดติดผิวของทองแดง แต่มีผลต่อการดูดติดผิวของแมงกานีส และสังกะสี ซึ่งชี้ให้เห็นว่าขอบเขตของการดูดติดผิวของพีเอชจะเพิ่มขึ้นตามค่า salinity ซึ่งสันนิษฐานเป็นผลอันเนื่องมาจากประจุบวกอื่นๆ เช่น  $\text{Ca}^{2+}$  และ  $\text{Mg}^{2+}$  เกิดการดูดติดผิวร่วมกันและเกิดการแข่งขันการดูดติดผิวกับแมงกานีส และสังกะสีเมื่อมีค่า salinity เพิ่ม

Kooner, Z.S., (1992) ศึกษาผลของพีเอช ความเข้มข้นของทองแดงที่ละลายทั้งหมด พื้นที่ผิวของ Goethite และ ionic strength ต่อการดูดติดผิวของทองแดงบน Goethite ในน้ำสรุปว่าการดูดติดผิวของทองแดงบน Goethite มีลักษณะคล้ายกันกับการดูดติดผิวของโลหะอื่นๆที่สามารถละลายน้ำได้ ขอบเขตของการดูดติดผิวขึ้นอยู่กับความเข้มข้นของทองแดงในที่มีขนาดพื้นที่ผิวของ Goethite น้อย แต่ความเข้มข้นของทองแดงไม่มีผลต่อขอบเขตของการดูดติดผิวทองแดงในที่มีขนาดพื้นที่ผิวของ Goethite มาก การลด ionic strength ลงสิบเท่าไม่มีผลต่อขอบเขตของการดูดติดผิว การดูดติดผิวของทองแดงบน Goethite ที่พีเอช ต่ำกว่า 4 เกิดขึ้นน้อยมาก แต่จะเกิดขึ้นมากที่บริเวณพีเอชใกล้เคียงกับ neutral

Ratanatamskul, C. (1993) ศึกษาการกำจัดฟอสฟอรัสออกจากน้ำเสียโดยใช้ zeolite-iron column พบว่าเมื่อย้ายน้ำเสียเข้าสู่ด้านบนของคอลัมน์ ระบบสามารถกำจัดได้โดยเฉลี่ย 70% และได้ทำการปรับปรุงระบบโดยทดลองการเติมอากาศลงไปในส่วนล่างของคอลัมน์ที่มีความสูงของชั้นตัวกลางมาก ทำให้ประสิทธิภาพในการกำจัดฟอสฟอรัสเพิ่มเป็น 92% แต่ก็เกิดปัญหาในเรื่องของการอุดตันของน้ำในระบบด้วยเช่นกัน เพื่อแก้ปัญหานี้จึงได้ทำการปรับปรุงระบบโดยการใช้คอลัมน์สั้นๆ 3 อัน มาเรียงต่อกันแบบอนุกรมพบว่าสามารถเพิ่มประสิทธิภาพของระบบ โดยมีค่าเฉลี่ยความเข้มข้นของฟอสฟอรัสเท่ากับ 1.2, 0.39 และ 0.16 ม.ก./ล. ของน้ำที่ออกจากคอลัมน์ที่ 1, 2 และ 3 ตามลำดับ โดยมีค่าความเข้มข้นของฟอสฟอรัสที่จ่ายเข้าระบบเท่ากับ 5.3 ม.ก./ล. ภายใต้การทดลอง 116 วัน

นอกจากนี้ยังได้ทำการศึกษากลไกของสภาวะแวดล้อมอื่น ๆ ที่มีต่อการกำจัดฟอสฟอรัส เช่น ผลของ พีเอช และอุณหภูมิ พบว่าการเพิ่มพีเอชมีผลทำให้ความสามารถในการกำจัดฟอสฟอรัสลดลง เมื่อพีเอชของระบบสูงกว่า 7.6 จะทำให้ความสามารถในการกำจัดฟอสฟอรัสลดลงอย่างรวดเร็ว อย่างไรก็ตามความสามารถในการกำจัดฟอสฟอรัสไม่ได้เปลี่ยนแปลงมากนัก ในช่วงพีเอช 5 ถึง 7 ส่วนผลของอุณหภูมิ จะอยู่ในทางตรงข้าม เมื่อเพิ่มอุณหภูมิให้สูงขึ้นจะทำให้ความสามารถในการกำจัดฟอสฟอรัสเพิ่มขึ้น

Khaodhiar, S. (1997) ศึกษาการกำจัดโครเมียม ทองแดง และ อาร์ซีนิก (CCR) ออกจากน้ำเสียโดยใช้ iron-oxide-coated sand (IOCS) และ magnetite-coated sand (MCS) จากการศึกษาพบว่า MCS สามารถทำให้เกิดทั้งผลของการดูดติดผิว และการรัดชั้น สำหรับการกำจัดCCR ส่วน IOCSถูกใช้สำหรับการศึกษาการดูดติดผิวของสารละลายโลหะแต่ละชนิด และศึกษาการแข่งขันการดูดติดผิวของสารละลายที่มีโลหะผสม จากการศึกษาพบว่าทองแดง และ อาร์ซีนิกจะถูกดูดติดผิวอย่างแข็งแรงในรูปของ inner-sphere surface complexes ในขณะที่โครเมียมจะถูกดูดติดผิวอย่างไม่แข็งแรงนักในรูปของ outer-sphere surface complexes กับผิวของเหล็กออกไซด์ ในส่วนของศึกษาการแข่งขันการดูดติดผิวพบว่าการมีอยู่ของอาร์ซีนิกในสารละลายจะช่วยเพิ่มปริมาณการดูดติดผิวของทองแดงเล็กน้อย ในขณะที่การมีอยู่ของโครเมียมไม่มีผลต่อการดูดติดผิวของทองแดงโดย IOCSเลย การมีอยู่ของทองแดงและหรือโครเมียมไม่มีผลต่อการดูดติดผิวของอาร์ซีนิก การมีอยู่ของทองแดงช่วยเพิ่มปริมาณการดูดติดผิวของโครเมียมซึ่งเป็นผลมาจากแรงยึดเหนี่ยวทางไฟฟ้าสถิตเป็นส่วนใหญ่ การมีอยู่ของอาร์ซีนิกจะมีผลอย่างมากต่อการลดปริมาณการดูดติดผิวของโครเมียมซึ่งเป็นผลมาจากแรงยึดเหนี่ยวทางไฟฟ้าสถิตและการแข่งขันการดูดติดผิว

การใช้ Triple-layer model ในการอธิบายการดูดติดผิวของโครเมียม ทองแดง และ อาร์ซีนิกในระบบที่มีสารละลายเพียงชนิดเดียว (single-solute systems) พบว่าสามารถอธิบายได้เป็นอย่างดี แต่พบว่าแบบจำลองนี้ไม่สามารถอธิบายการดูดติดผิวในระบบที่เป็นสารละลายผสมของโลหะหลายชนิดได้ (multi-solute systems)

Weesner, F.J., and Bleam, W. F. (1997) ได้ทำการตรวจสอบการดูดติดผิวของ Cu(II) บนผิว boehmite( $\text{AlOOH}$ ) ที่พีเอช 6.5 โดยใช้ electron paramagnetic resonance(EPR) และ X-Ray Adsorption Spectroscopy พบว่าการดูดติดผิวของ Cu(II) มักจะเกิดร่วมกับลิแกนด์ที่เป็นออกซิเจน 4 อะตอมโดยมีการจัดโครงสร้างอย่างสมดุล ในการทดลองนี้ได้วัดระยะห่างของ Cu-O bond ซึ่งวัดระยะได้ประมาณ  $1.94 \text{ \AA}$  การเกิด inner-sphere surface complex ของ

Cu(II) จะเกิดที่ low surface loading ( $< 0.2 \mu \text{ mol} / \text{M}^2$ ) ส่วนการเกิด outer-sphere surface complex ของ  $\text{Cu}(\text{OH})_N(\text{H}_2\text{O})_x^{(2-x)+}$  จะเกิดที่ high surface loading และ Cu(II) ค่อนข้างจะต้านทานต่อการเกิดการตกตะกอนบนผิว boehmite ที่พีเอช 6.5 ส่วนการมีอยู่ของประจุลบมีผลน้อยมากต่อการดูดติดผิวของ Cu(II)

พนจิตร ธนสิน (2539) ศึกษาประสิทธิภาพการกำจัดสังกะสีและนิกเกิลในน้ำเสียสังเคราะห์โดยใช้ตัวกลางทรายเคลือบเหล็กออกไซด์และทรายเคลือบแมงกานีสออกไซด์ จากการทดลองพบว่าตัวกลางทั้งสองมีประสิทธิภาพในการแลกเปลี่ยนไอออนได้ดีที่สุดที่ความเข้มข้นเท่ากับ 50 มก./ล. พีเอชเท่ากับ 6 โดยประสิทธิภาพในการแลกเปลี่ยนไอออนสังกะสีและนิกเกิลเท่ากับ 68.92 % และ 69.52 % สำหรับทรายเคลือบเหล็กออกไซด์ และเท่ากับ 60.66 % และ 68.27 % สำหรับทรายเคลือบแมงกานีสออกไซด์ ซึ่งปริมาณสังกะสีและนิกเกิลที่ทรายเคลือบเหล็กออกไซด์แลกเปลี่ยนได้เท่ากับ 1978.02 มก./ล.เรซิน และ 2136.33 มก./ล.เรซิน และสังกะสีและนิกเกิลที่ทรายเคลือบแมงกานีสออกไซด์แลกเปลี่ยนได้เท่ากับ 2982.64 มก./ล.เรซิน และ 3057.52 มก./ล.เรซิน นอกจากนี้ยังได้ศึกษาเปรียบเทียบปริมาณโลหะหนักที่หลุดออกมาจากการฟื้นอำนาจตัวกลางด้วยไฮเดียมไนเตรท 0.01 M และ 0.1 M ซึ่งพบว่าการฟื้นอำนาจตัวกลางทั้งสองชนิดด้วยไฮเดียมไนเตรท 0.1 M สามารถนำกลับโลหะหนักได้ปริมาณมากกว่าการฟื้นอำนาจตัวกลางด้วยไฮเดียมไนเตรท 0.01 M ถึง 2-4 เท่าเมื่อตัวกลางคือทรายเคลือบเหล็กออกไซด์ ส่วนกรณีในตัวกลางคือทรายเคลือบแมงกานีสออกไซด์ ไฮเดียมไนเตรท 0.1 M สามารถนำกลับโลหะหนักได้ปริมาณมากกว่าไฮเดียมไนเตรท 0.01 M ถึง 12 เท่า